



- Introduction
- Images et techniques d'affichage
  - Bases
  - Correction gamma
  - Aliasing et techniques pour y remédier
  - Stockage

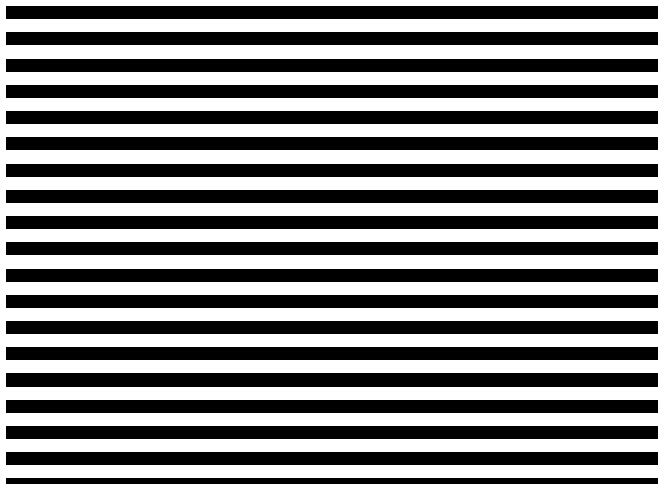
## Plan du cours

- Perspective 3D & transformations 2D / 3D
  - Passer d'un espace 3D vers un dispositif d'affichage 2D
- Deux paradigmes de génération d'images
- Représentation de courbes et surfaces
  - Splines & co.
  - Maillages
- Rendu réaliste (Ray tracing)
  - Concepts et bases théoriques

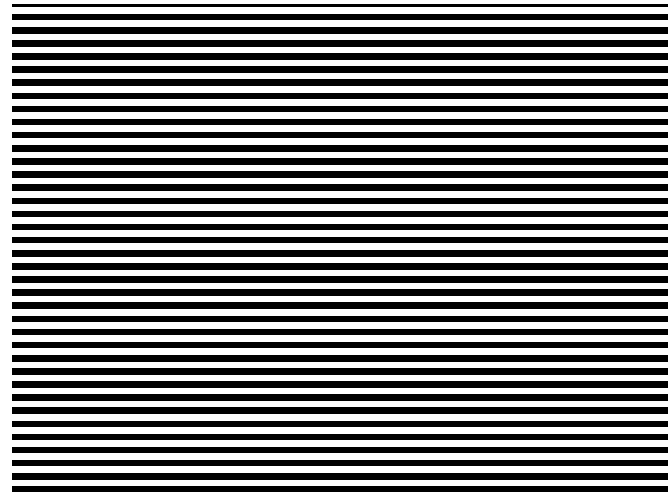
## Aliasing

### « Aliasing » (crénelage en français)

- Apparaît lors de la création ou la capture d'une image, lors de la discrétisation spatiale (transformation en pixels *discrets*)
  - Petite expérience : L'image à capturer est une succession de lignes noires et blanches dont la densité va augmentant.

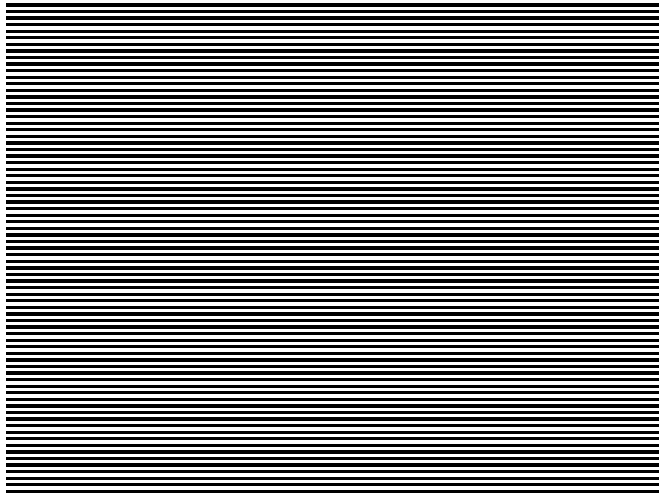


1 ligne/4 pixels

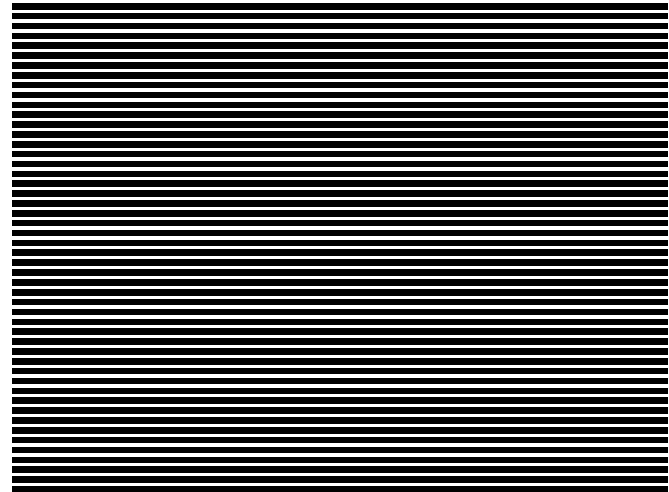


1/2

## Aliasing



1/1

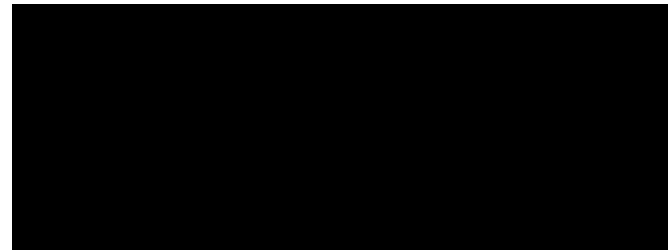


3/2



## Aliasing

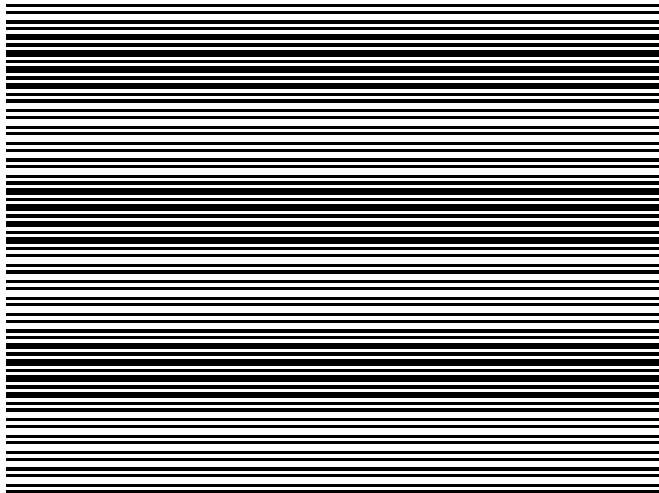
2/1



199/100

## Aliasing

- En fait on ne devrait pas trouver de signal dont la fréquence spatiale est supérieure à une certaine constante reliée au pas d'échantillonnage.



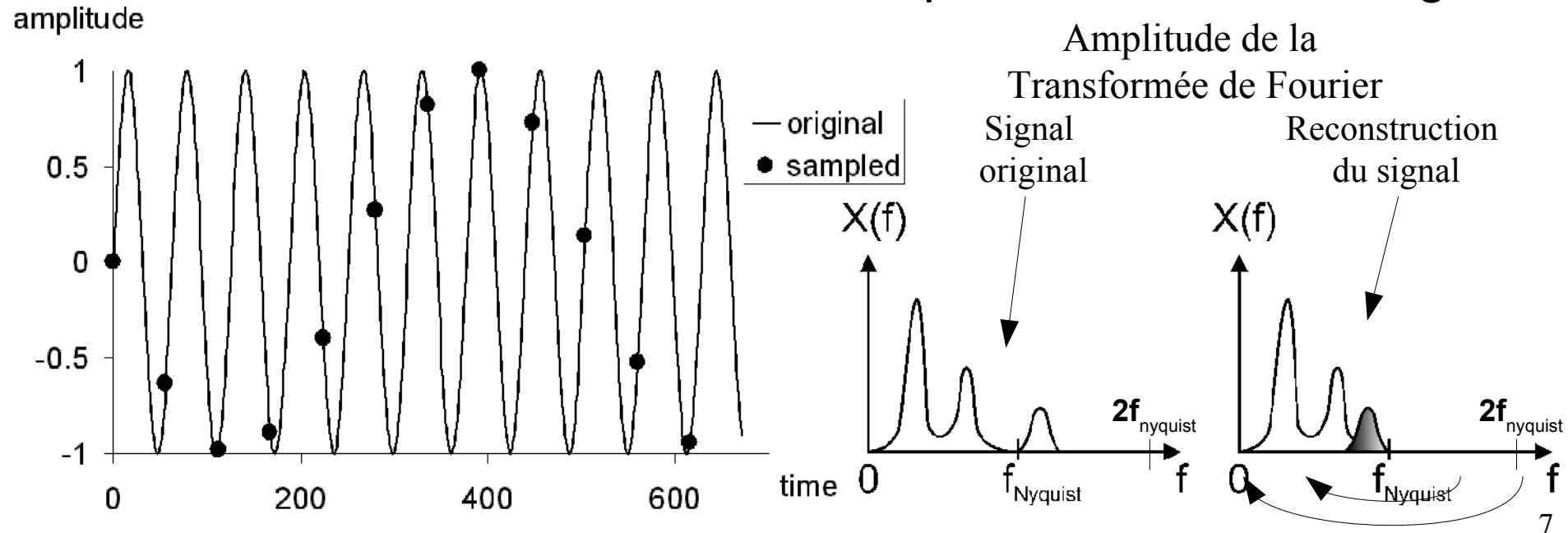
16/5

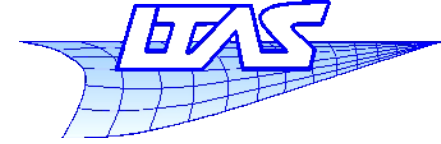
## Aliasing

- Théorème de Nyquist-Shannon

- Si le spectre d'une fonction ne contient pas de fréquences supérieures à  $B$ , alors elle est complètement déterminée par une série d'échantillons séparés par  $1/(2B)$  (en temps, espace, ...), soit de fréquence  $2B$ .  $2B$  est la fréquence de Nyquist.

- Dans le cas contraire, on a le phénomène d'aliasing :



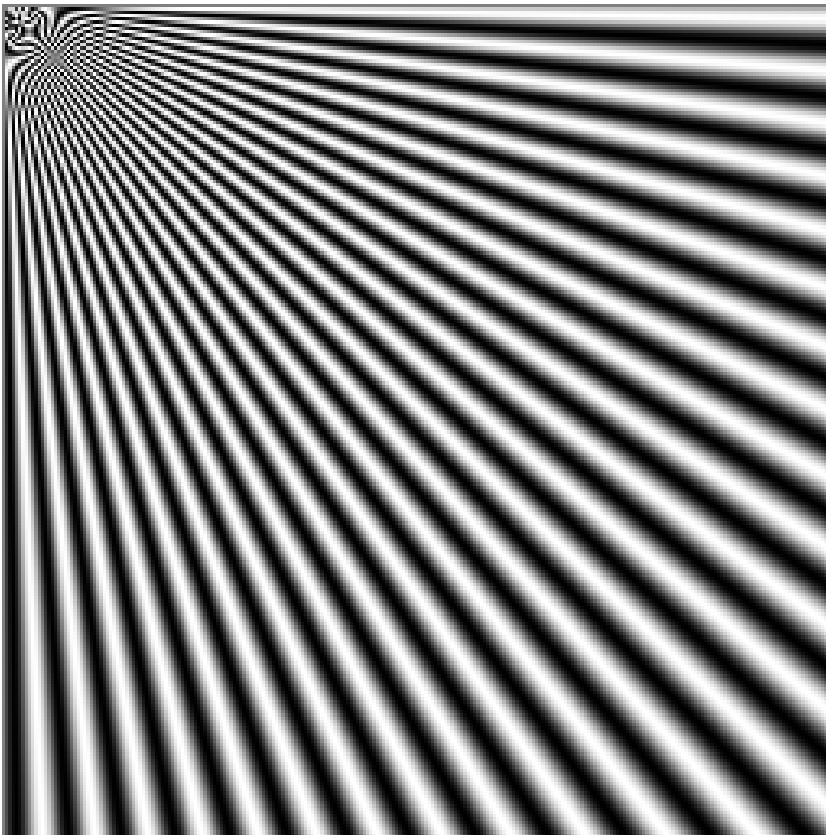


- Transformée de Fourier :

$$\hat{f}(\omega) = \int_{-\infty}^{+\infty} f(t) e^{i\omega t} dt$$



- Phénomène de moiré



### Comment supprimer l'aliasing ?

- En augmentant la densité de l'échantillonnage jusqu'à respecter le théorème de Shannon ?
- En filtrant le signal dans un filtre passe bas afin d'être dans le fenêtrage du théorème de Shannon pour une densité d'échantillons donnée ?
- Une combinaison des deux... ?

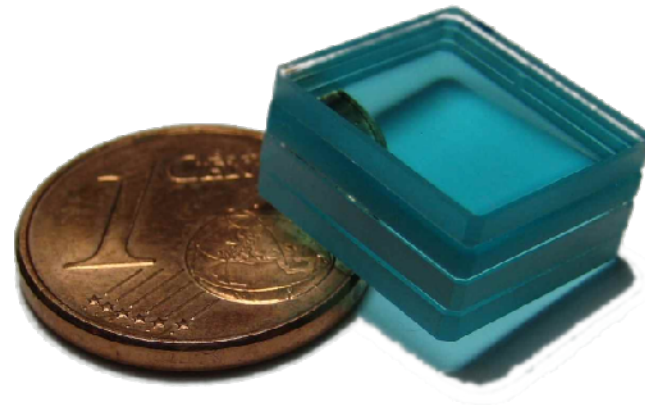
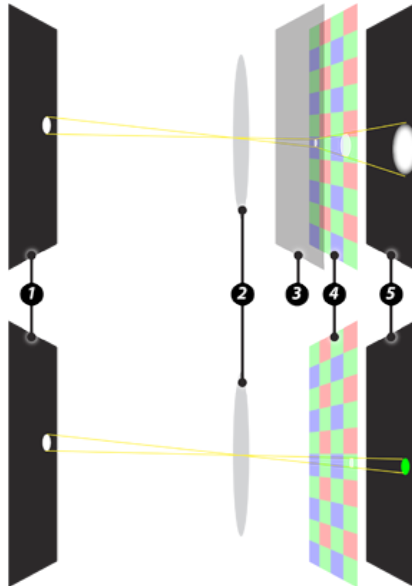
## Aliasing

- Augmenter la densité des échantillons
  - Revient à accroître la résolution de l'image
  - Mais : les images réelles sont souvent d'aspect fractal
    - La fréquence (résolution spatiale) des détails est énorme
  - Mais : les images générées artificiellement comportent de brusques variations d'intensité (ligne noire sur fond blanc)
    - Cf décomposition de Fourier d'un signal carré :  
Spectre du signal carré : harmoniques impaires d'amplitude  $1/n$  ...

Seule, cette solution ne suffit pas.

## Aliasing

- Filtrage passe bas « analogique »
  - Pour les dispositifs de capture, ceci doit être fait avant la capture proprement dite
  - Revient à rendre l'image légèrement floue – mais pas trop !
  - C'est exactement ce que l'on trouve sur le capteur des appareils photos numériques. Un filtre positionné entre l'objectif et le capteur.



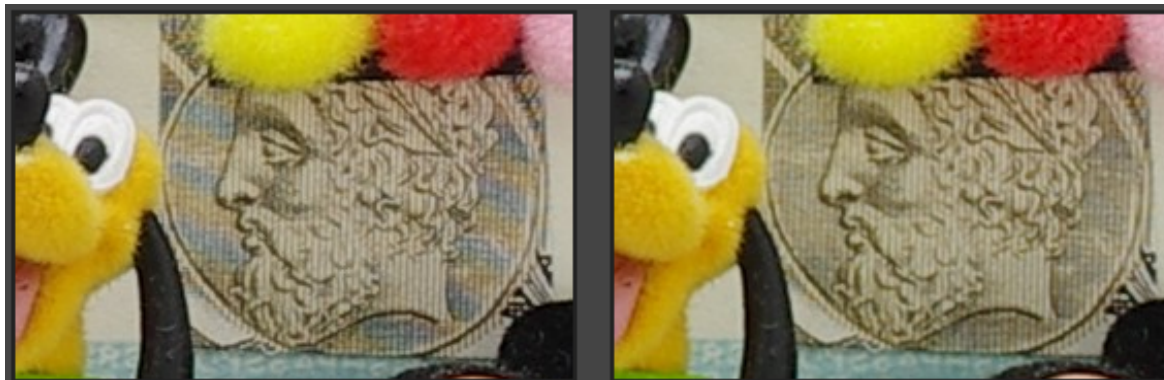
## Aliasing

- Exemple : filtre analogique (physique) dans un appareil photo numérique

Sans filtre  
antialiasing



Avec filtre AA  
devant le  
capteur



## Aliasing

- Filtrage passe bas numérique
  - Lors de la création d'images de synthèse, on doit faire autrement !
  - Une manière courante est de faire de l'oversampling (c'est à dire échantillonner à plus haute fréquence et faire une moyenne des échantillons lors du retour à la fréquence voulue

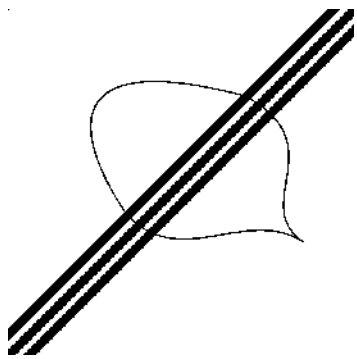
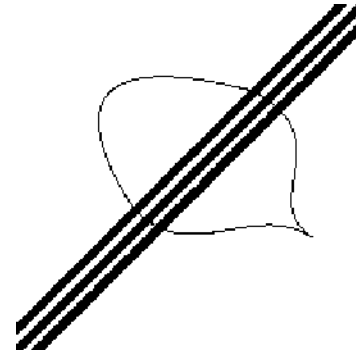


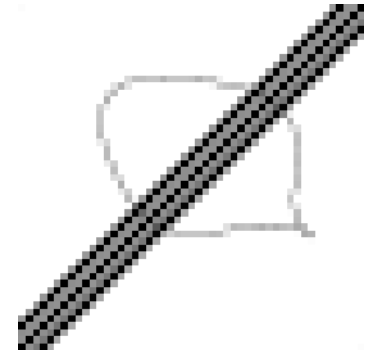
Image originale  
(continue)



Résolution 49x49  
Sans antialiasing



Résolution 196x196  
Sans antialiasing



Résolution 49x49  
avec oversampling 4x4

## Aliasing

- Simulation d'un filtre passe bas analogique

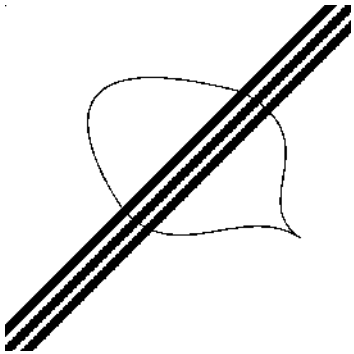
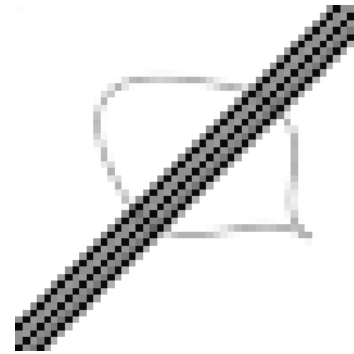


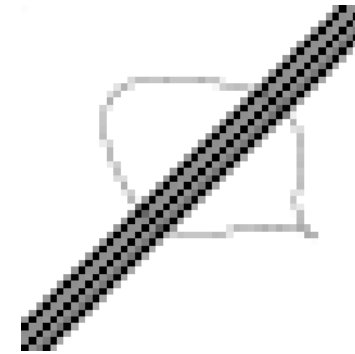
Image originale  
(continue)



Image originale  
« floutée »



Résolution 49x49  
à partir de l'image  
« floutée »



Pour rappel  
Résolution 49x49  
avec oversampling 4x4

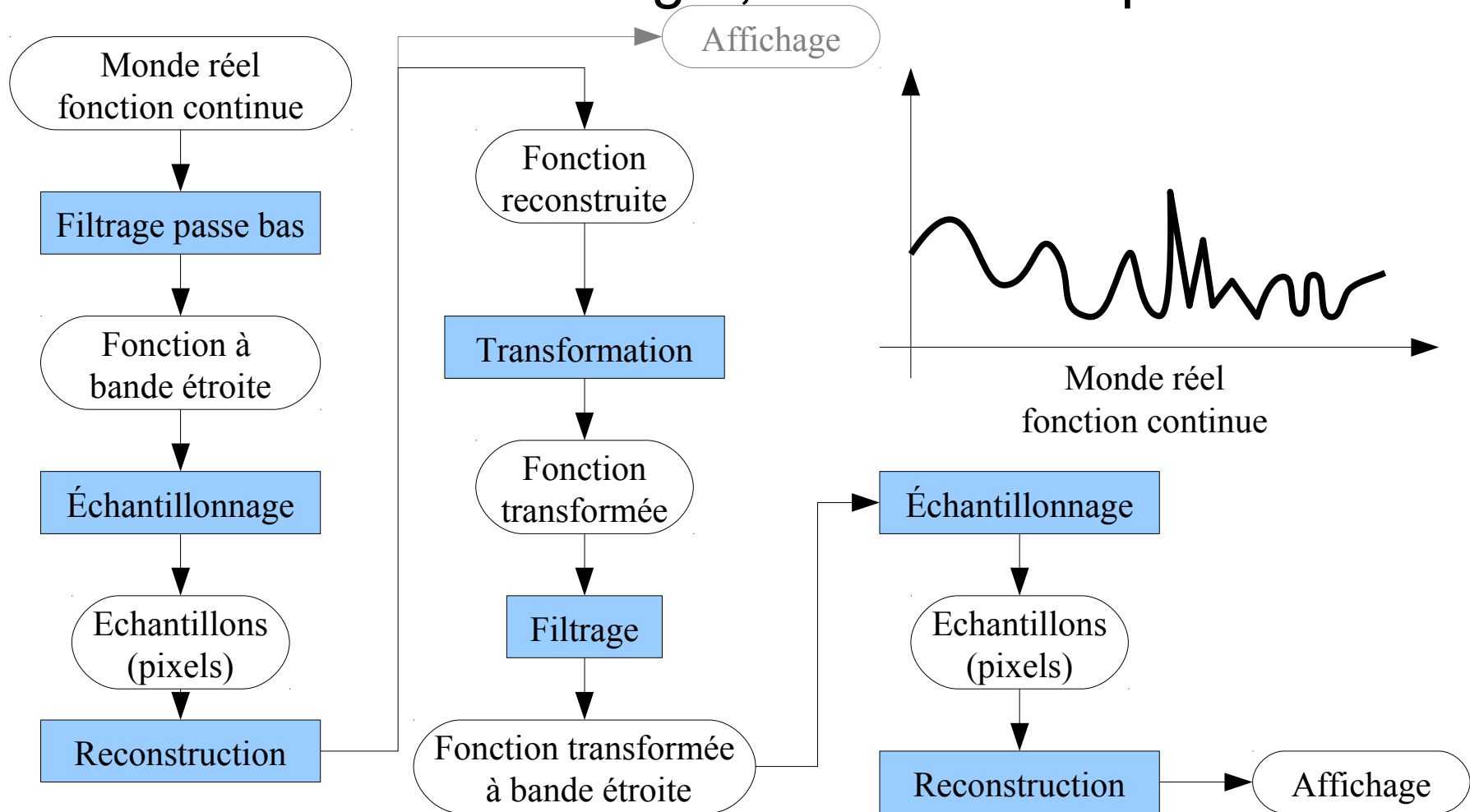
## Aliasing

- Filtres habituels utilisés lors du rééchantillonnage d'une image
  - Plus proche voisin
    - Fort aliasing
  - Interpolation bilinéaire (4 plus proches pixels)
    - Apparence plus douce
  - Interpolation bicubique (16 plus proches pixels)
  - Filtre gaussien
  - Lanczos
    - Utilisation d'une approximation de la fonction sinc (filtre passe bas idéal)

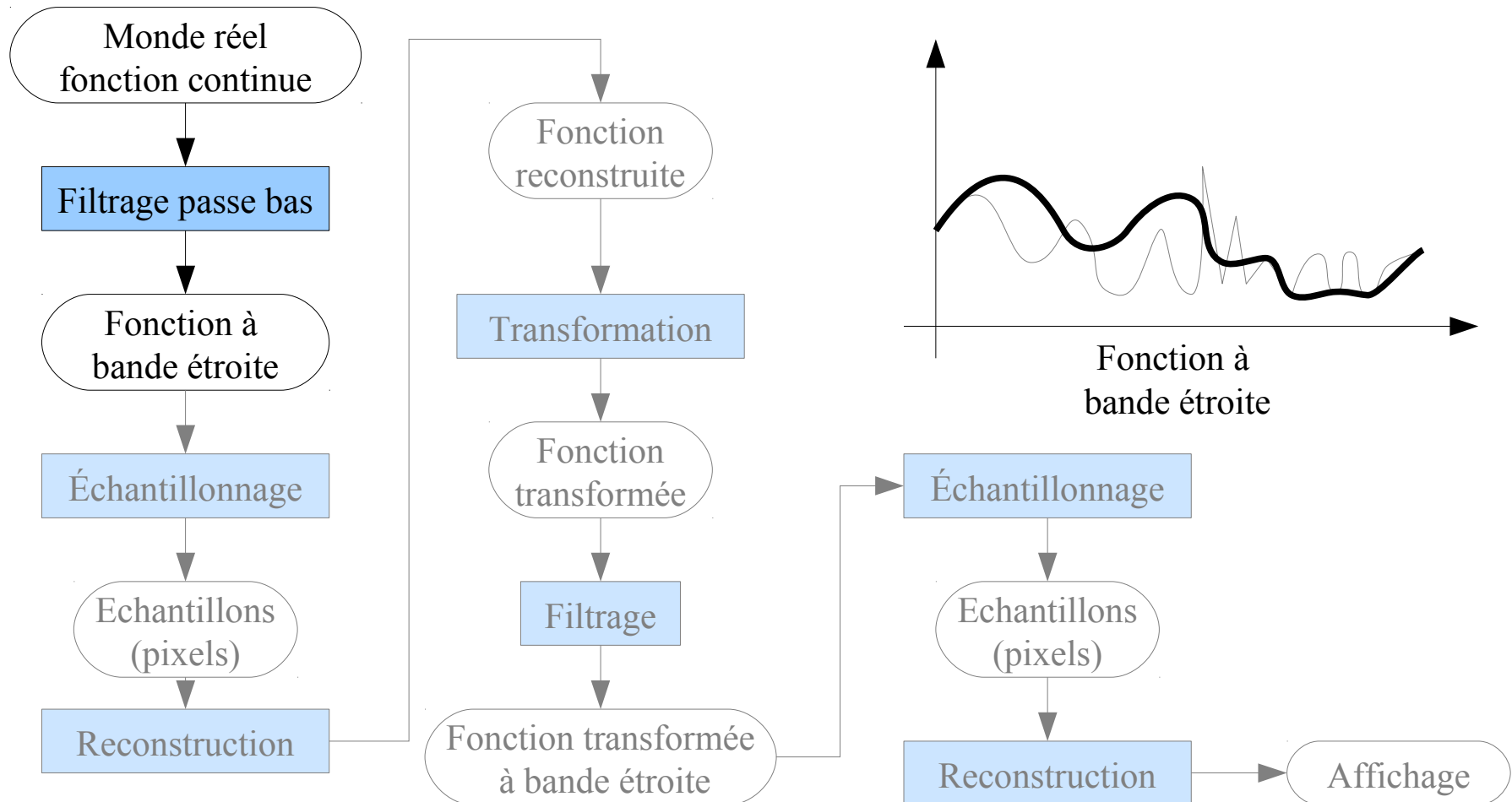


## Aliasing

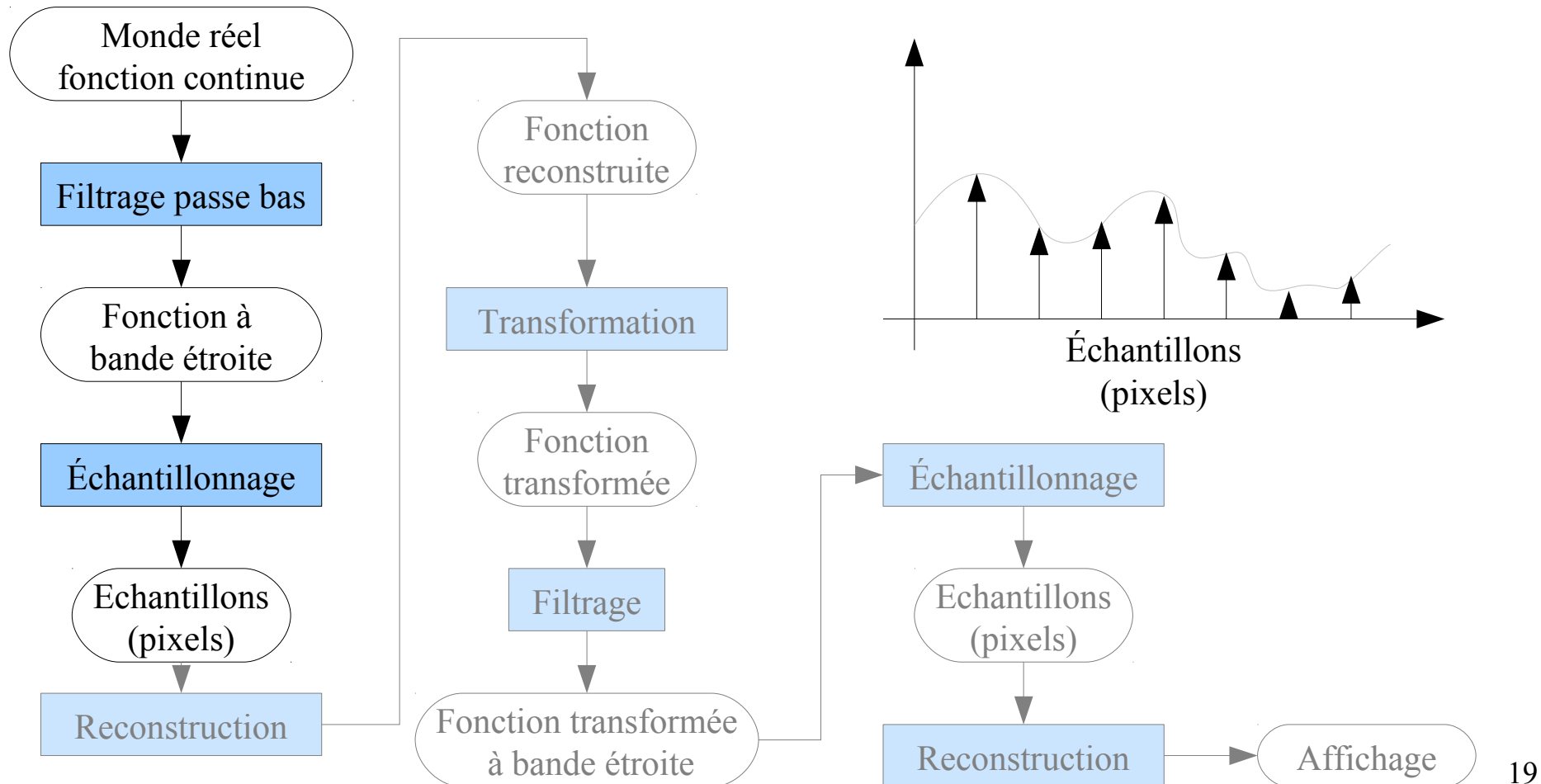
- Traitement de l'image ; une série d'opérations



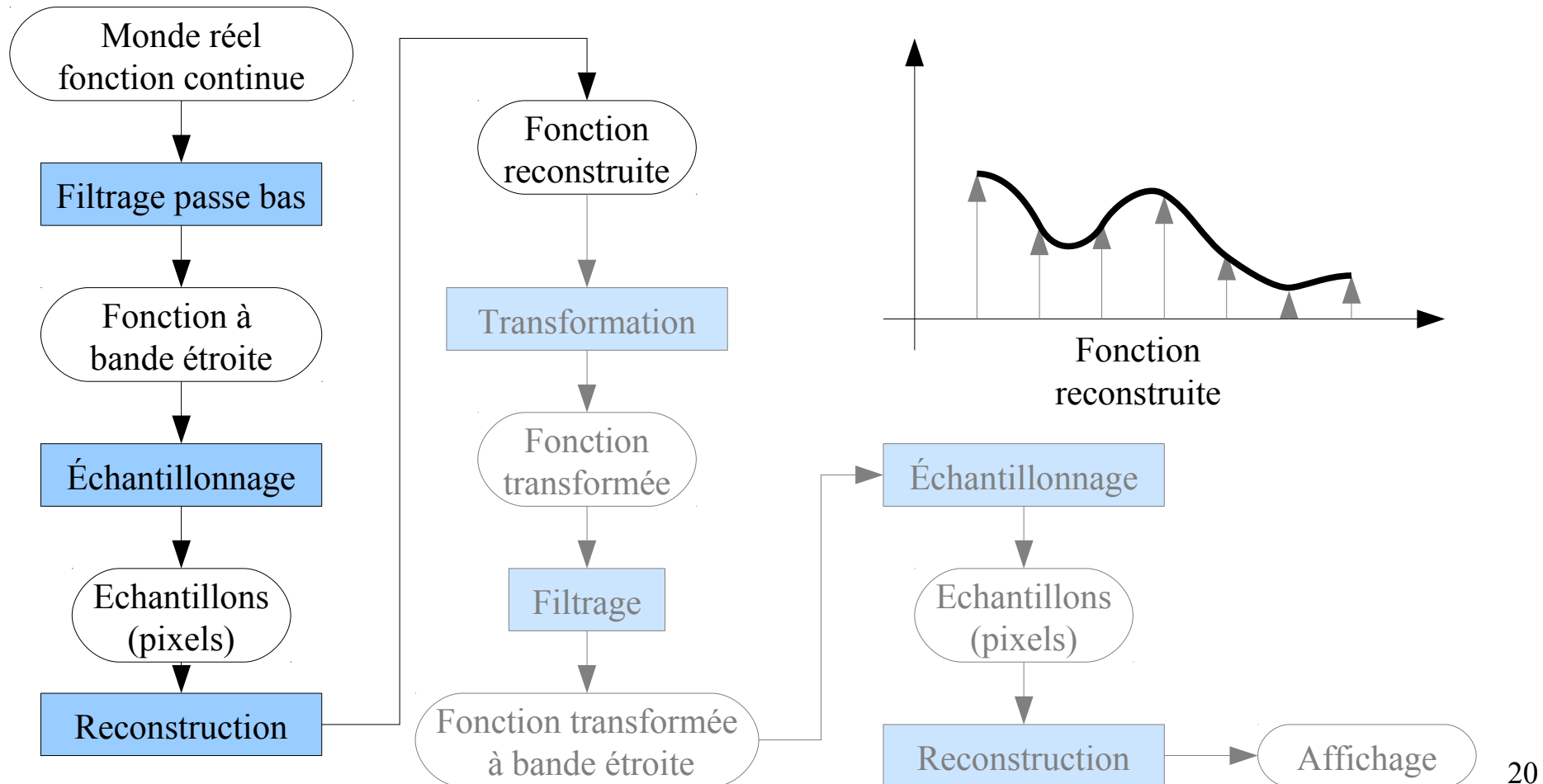
- Traitement de l'image ; une série d'opérations



- Traitement de l'image ; une série d'opérations

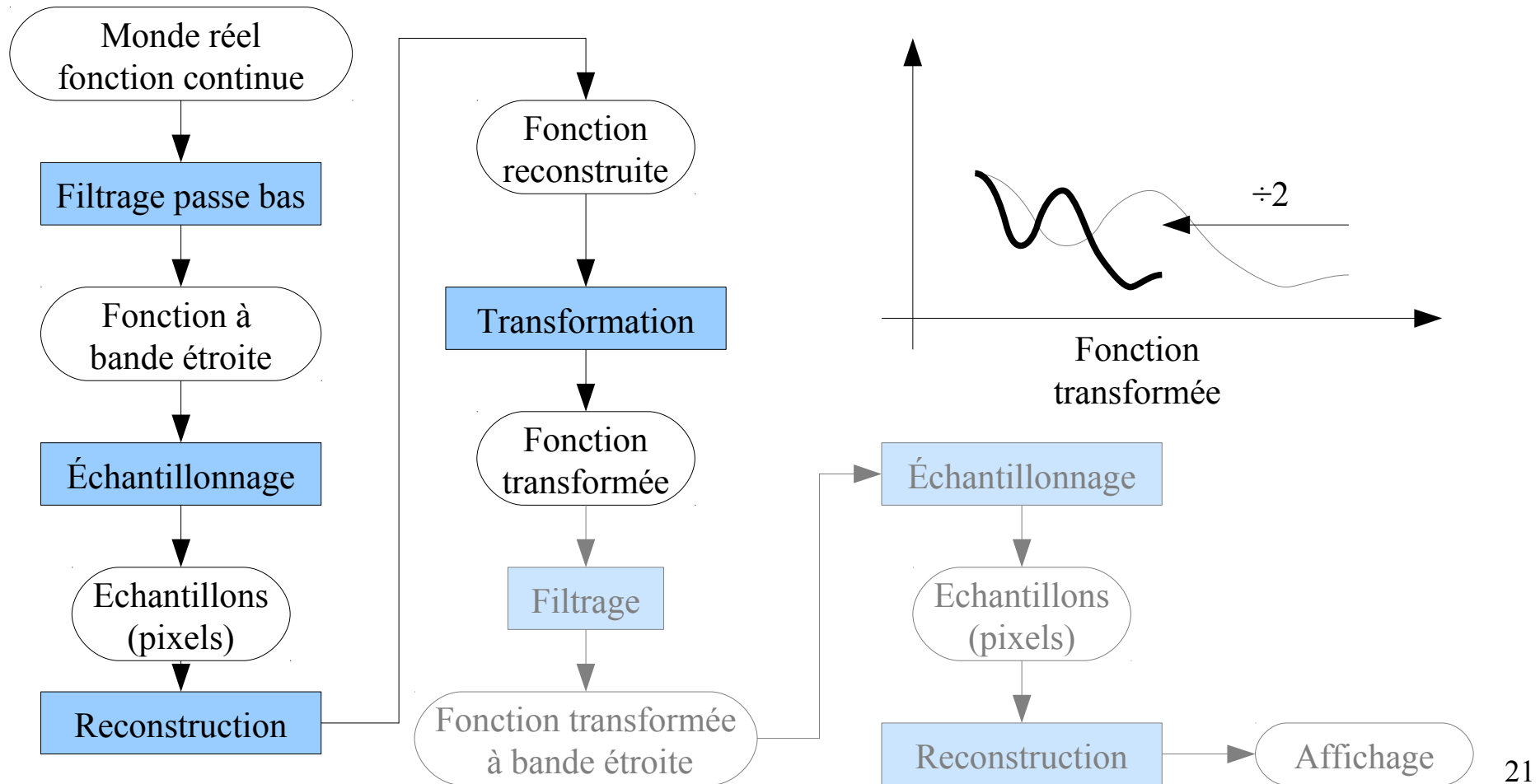


- Traitement de l'image ; une série d'opérations

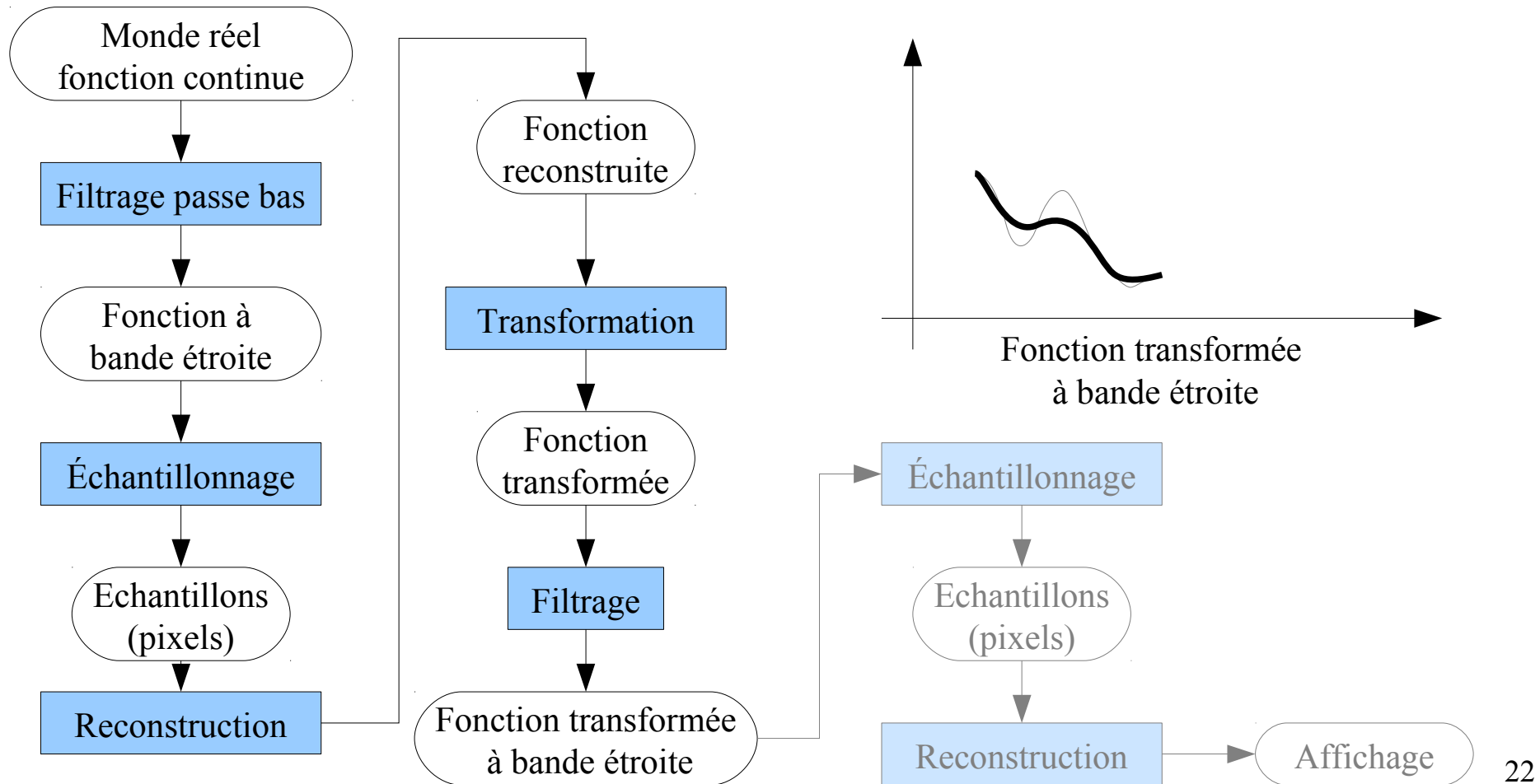


## Aliasing

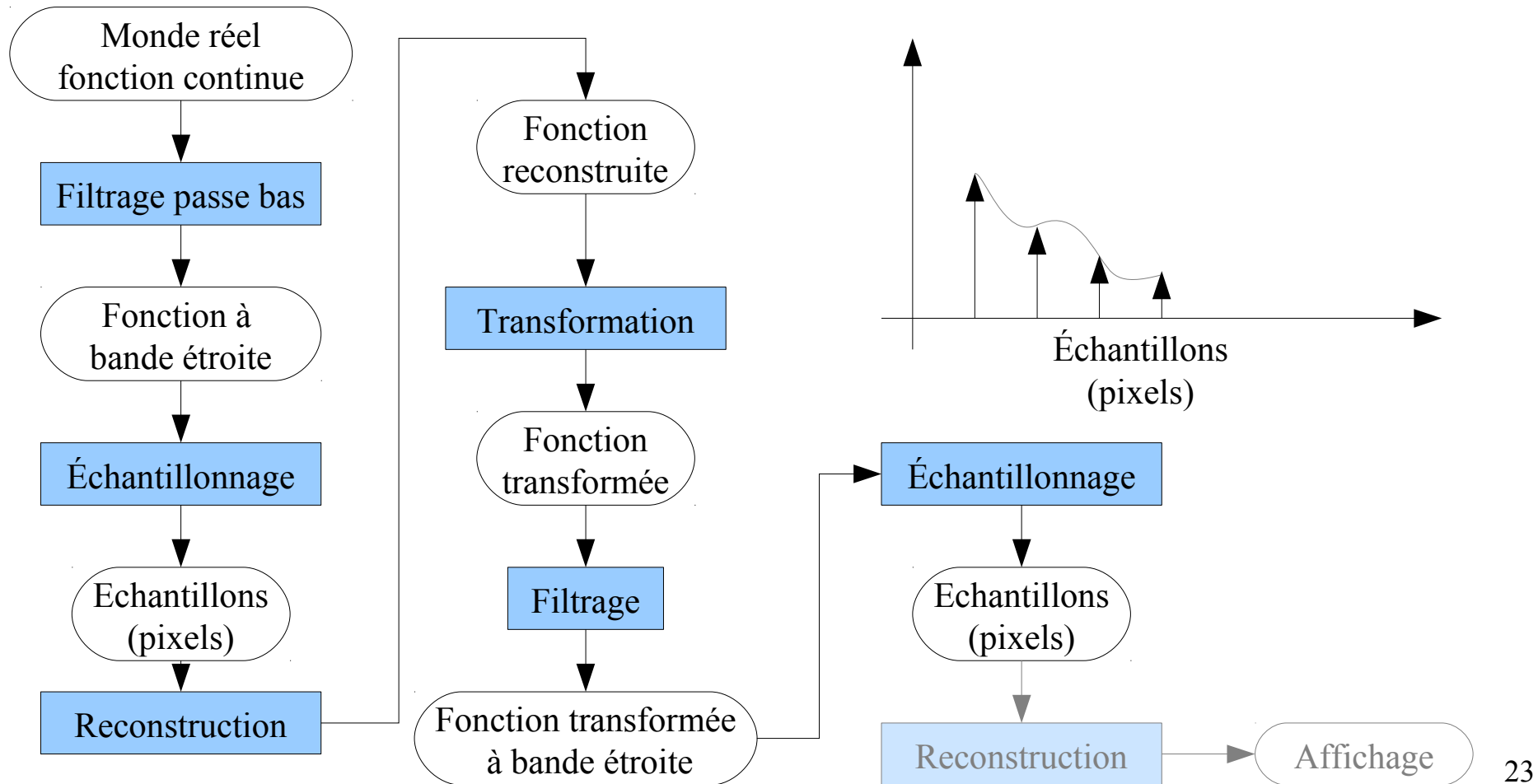
- Traitement de l'image ; une série d'opérations



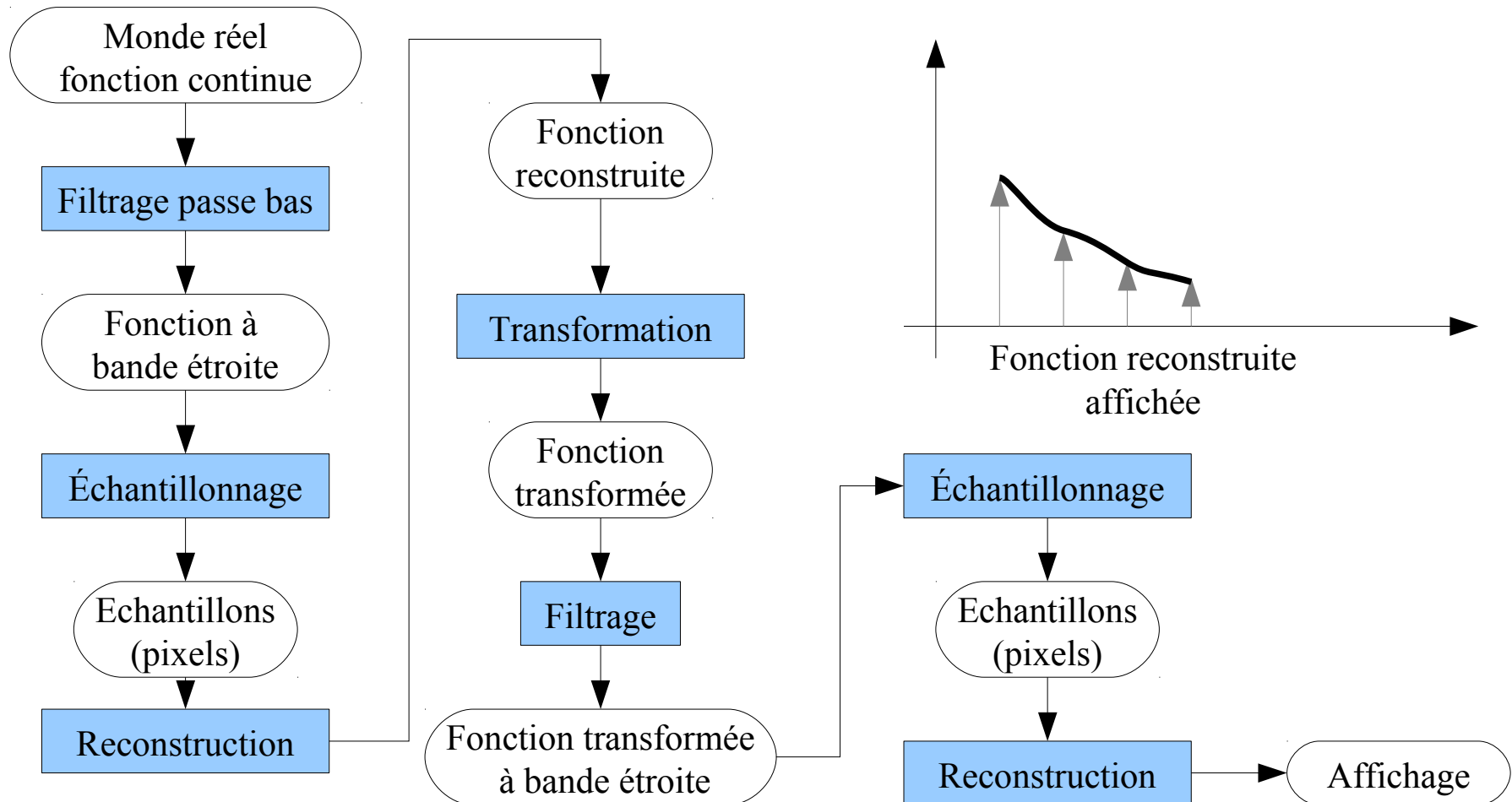
- Traitement de l'image ; une série d'opérations



- Traitement de l'image ; une série d'opérations



- Traitement de l'image ; une série d'opérations

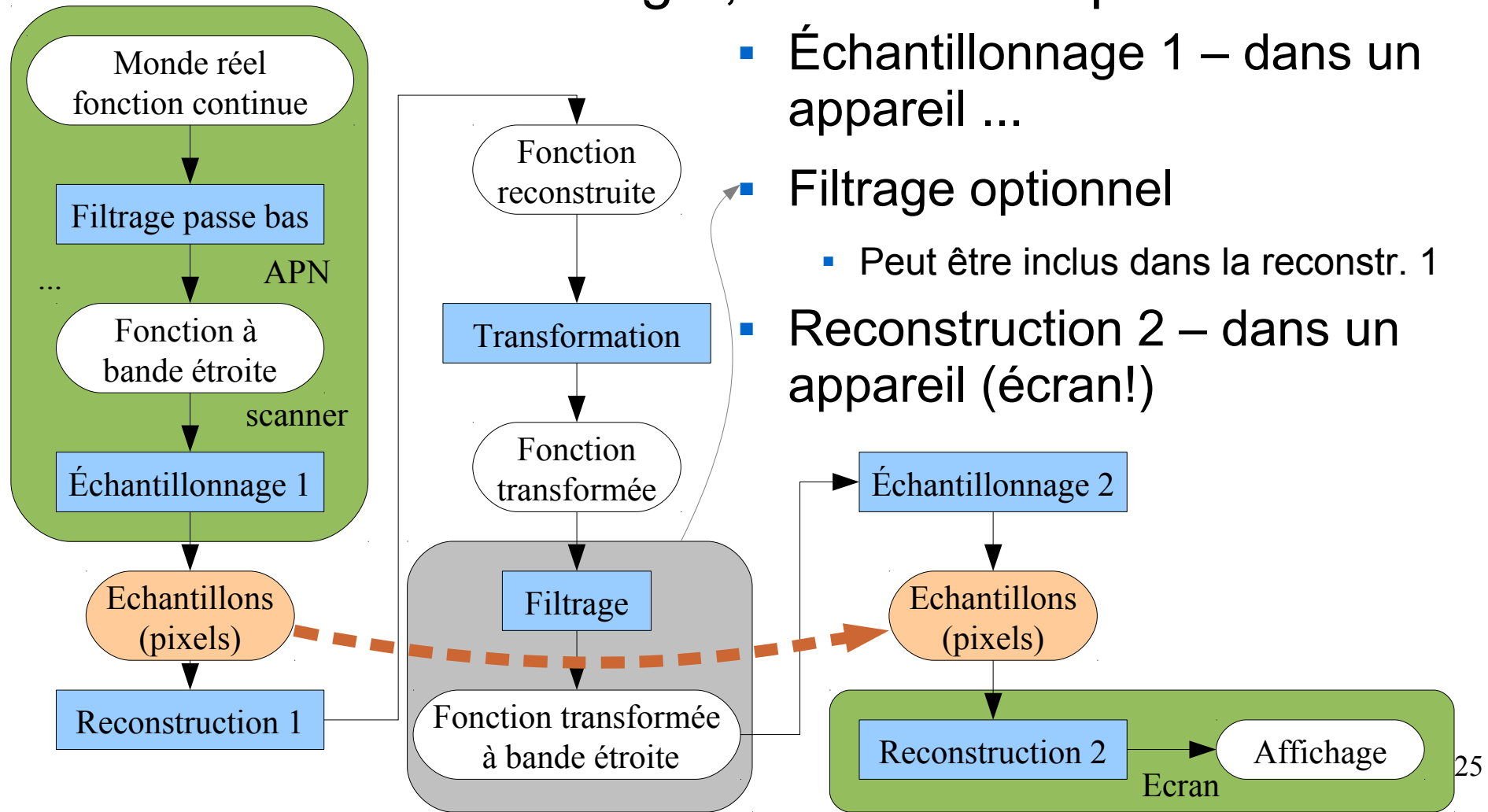




## Aliasing

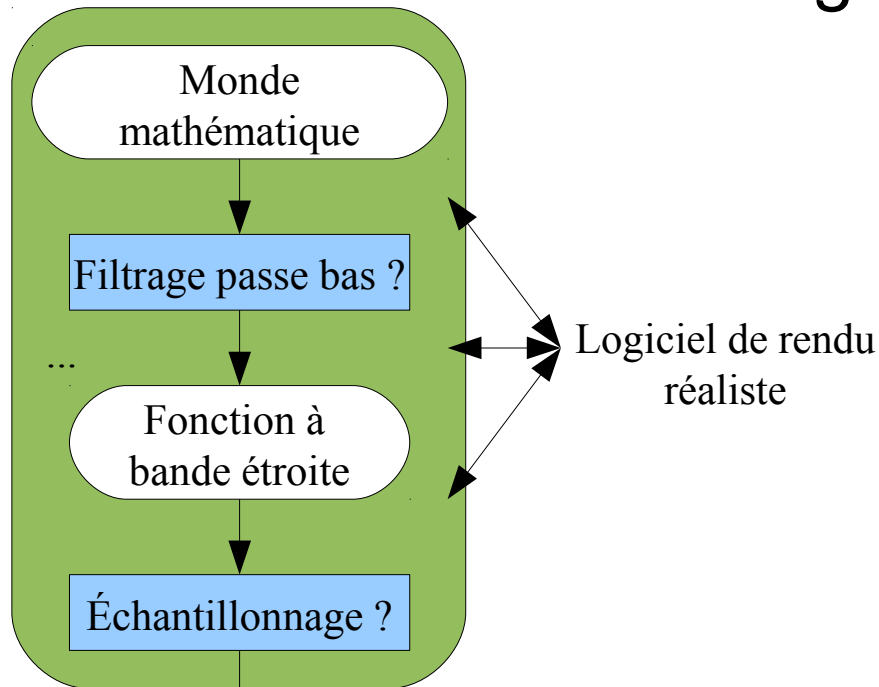
- Traitement de l'image ; une série d'opérations

- Échantillonnage 1 – dans un appareil ...
- Filtrage optionnel
  - Peut être inclus dans la reconstr. 1
- Reconstruction 2 – dans un appareil (écran!)

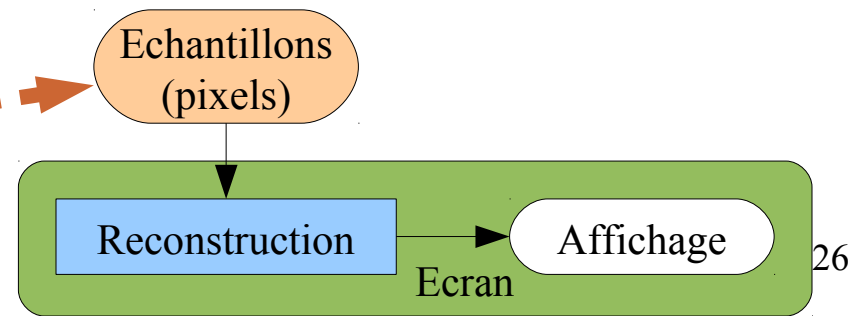


## Aliasing

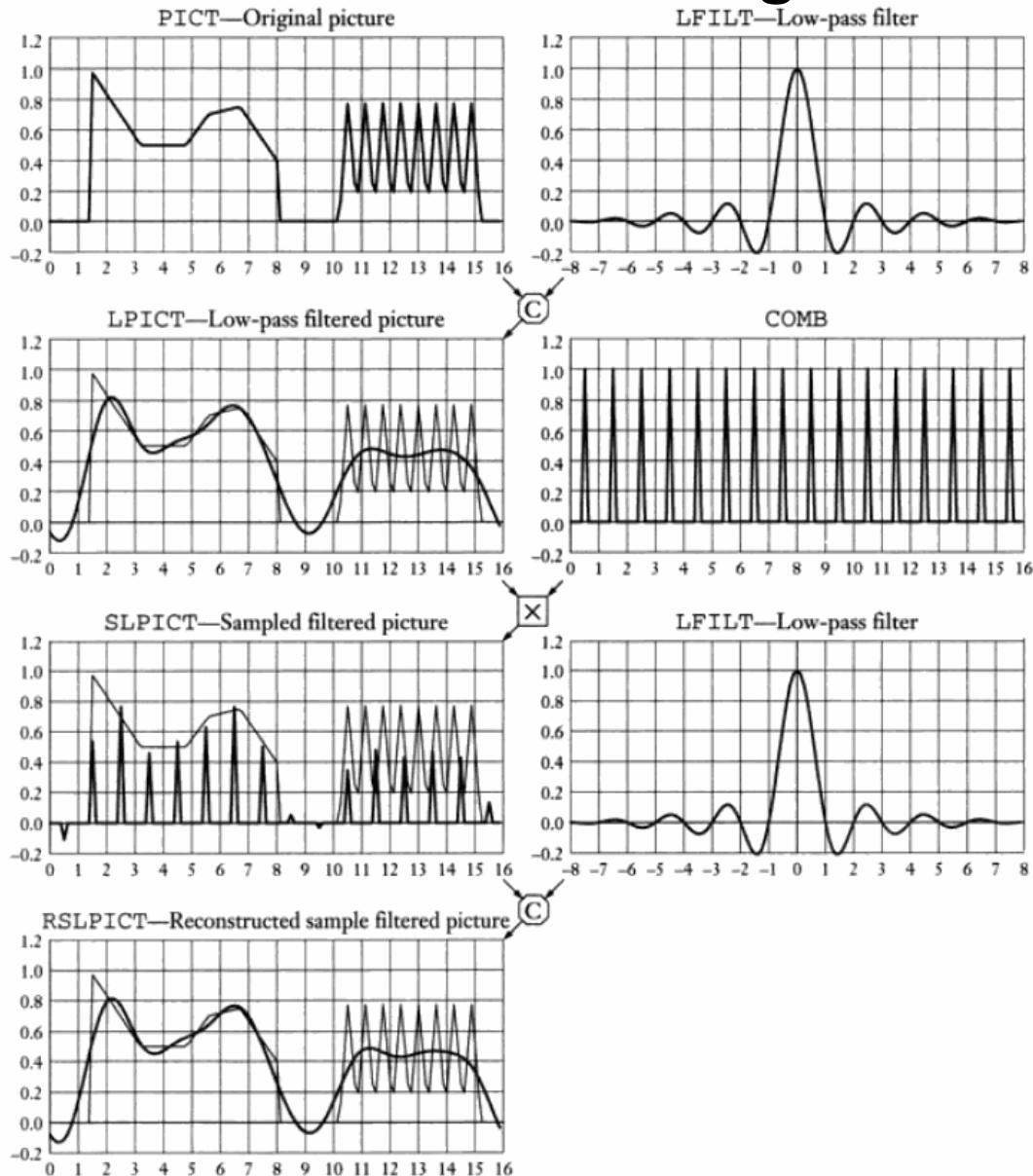
- Traitement de l'image : cas des images de synthèse



- La question se pose à propos du filtrage passe-bas et de l'échantillonnage du monde « mathématique » que l'on souhaite représenter.
- Difficile de séparer les deux opérations
- J'en reparlerai plus tard.



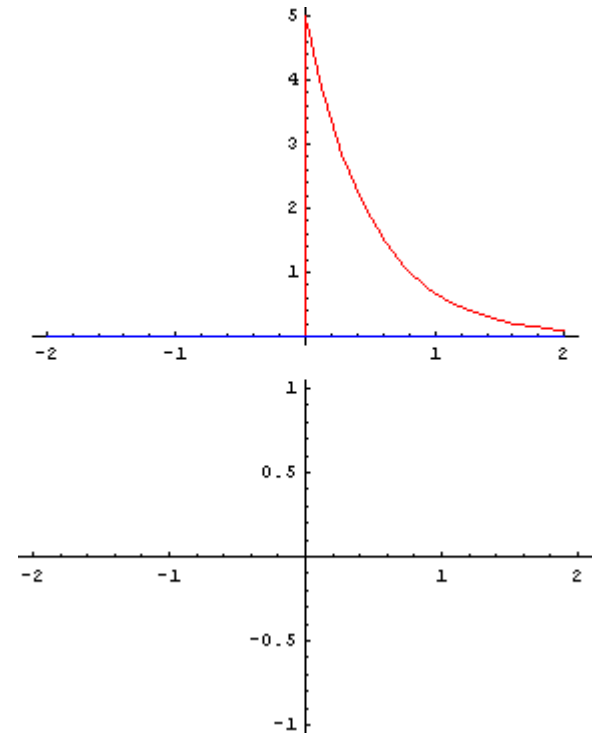
## Aliasing



## Aliasing

- Convolution

$$(f * g)(t) = \int_{-\infty}^{+\infty} f(t - \tau) g(\tau) d\tau$$

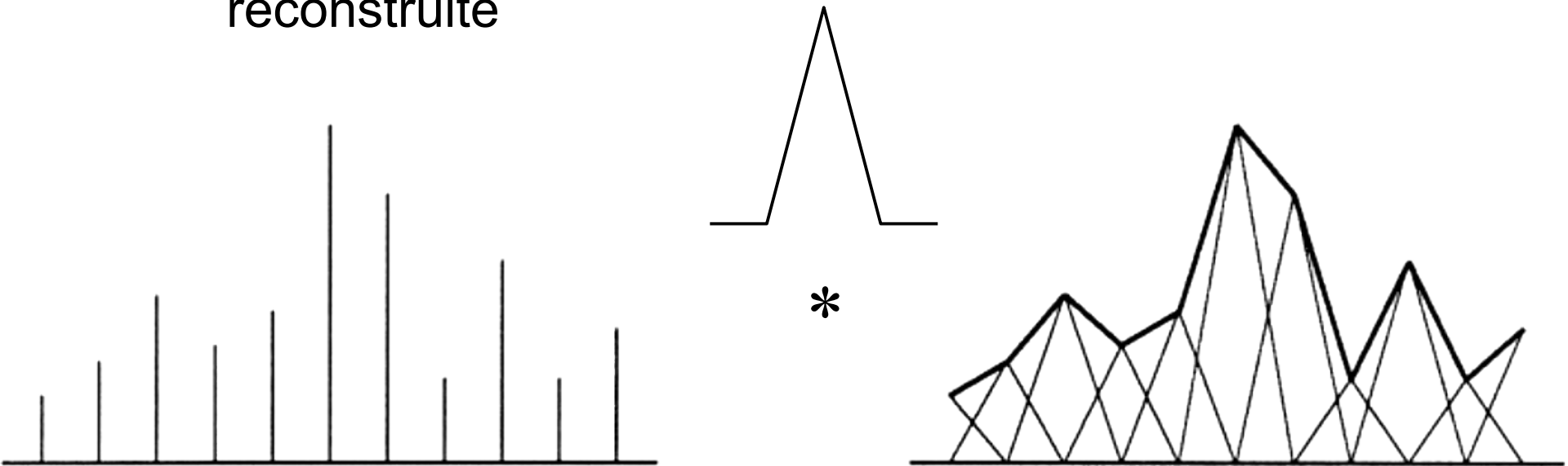




- Reconstruction
  - Partir des échantillons
  - Effectuer une convolution avec un certaine fonction
    - Linéaire, bicubique, Gaussien, etc...
    - Revient à effectuer une interpolation pour reconstruire le signal là ou il n'existe plus (entre les échantillons)
    - Permet donc de revenir à un signal continu

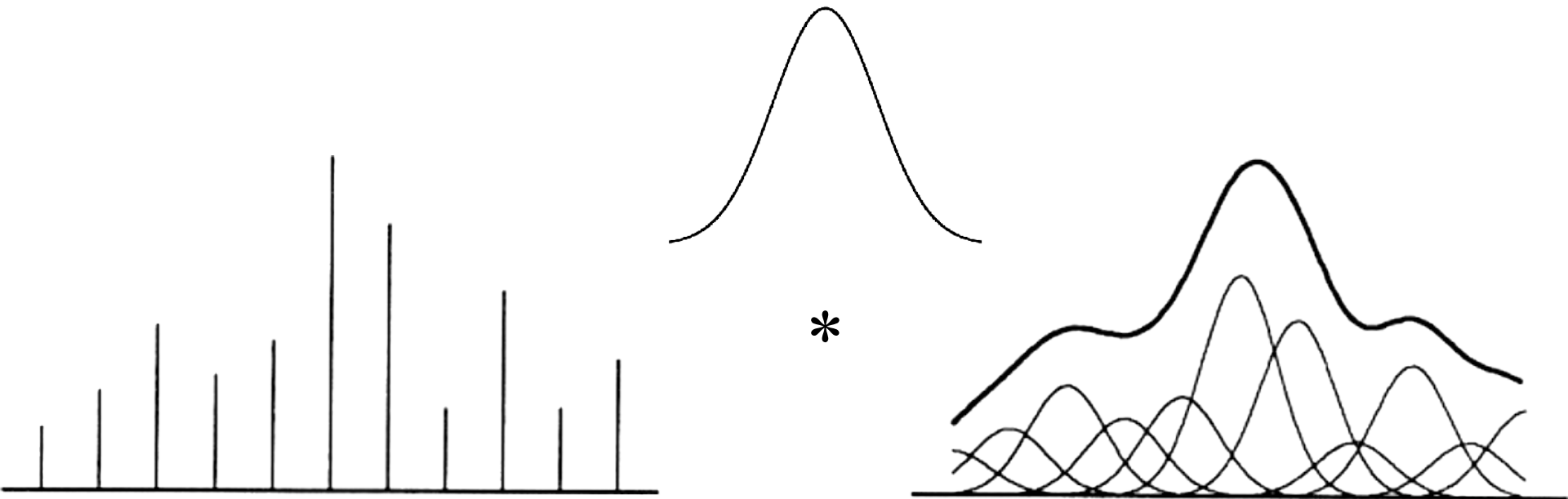
## Aliasing

- Reconstruction avec un filtre linéaire (« chapeau »)
  - Chaque échantillon est « multiplié » par la fonction chapeau et la somme constitue la fonction reconstruite



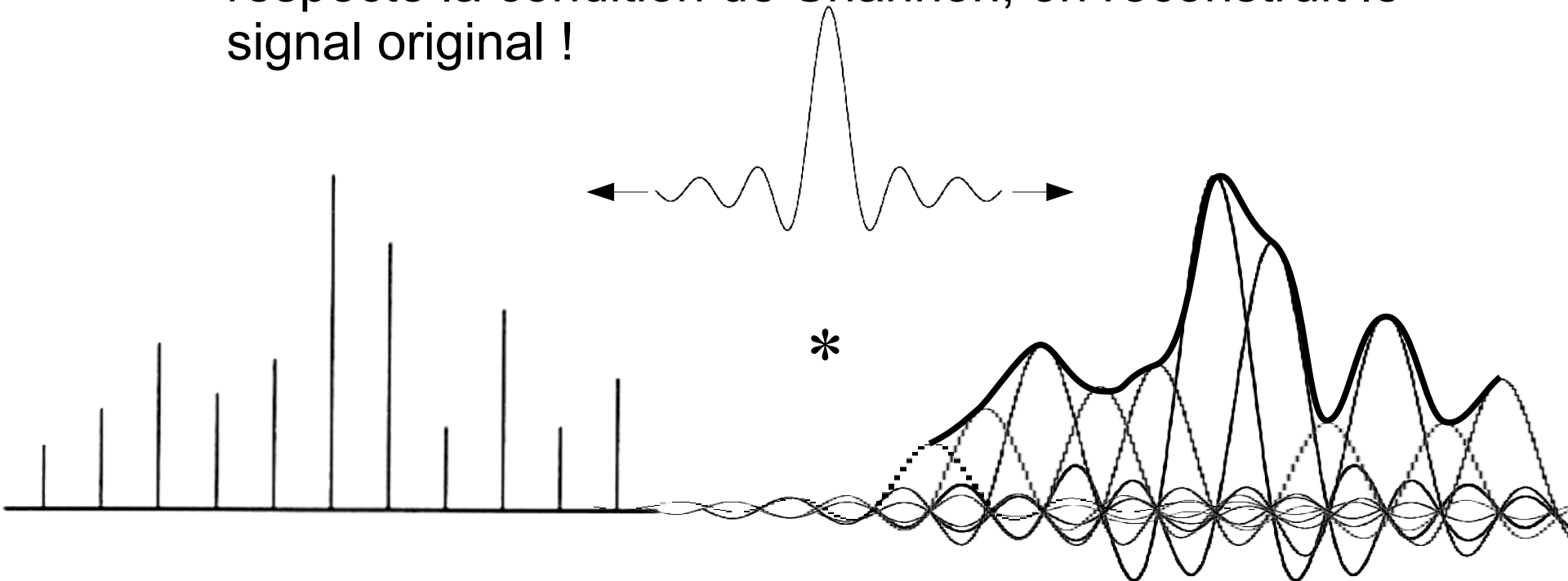
## Aliasing

- Reconstruction avec un filtre gaussien
  - Chaque échantillon est « multiplié » par la fonction gaussienne et la somme constitue la fonction reconstruite



## Aliasing

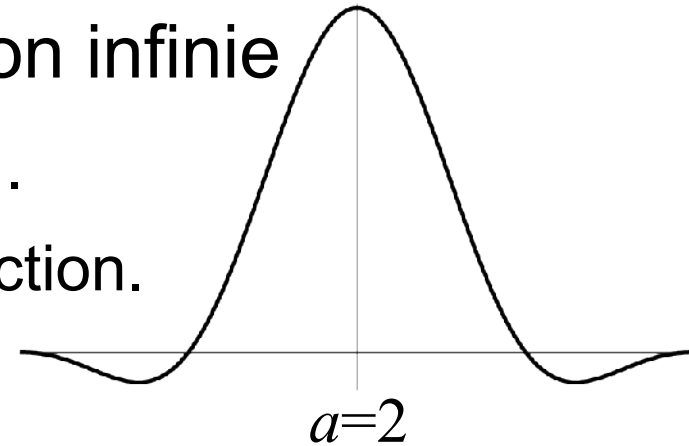
- Reconstruction avec sinc  $\text{sinc}(x) = \frac{\sin \pi x}{\pi x}$ 
  - On fait la convolution avec un sinus cardinal - extension infinie : sous réserve que le signal original respecte la condition de Shannon, on reconstruit le signal original !





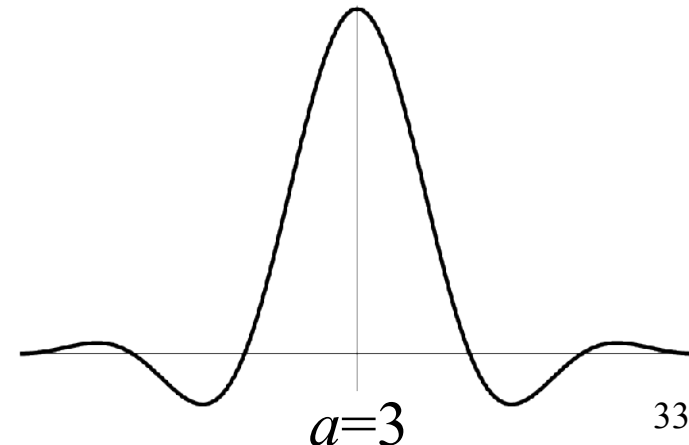
## Aliasing

- Le sinus cardinal est d'extension infinie
  - En théorie, effort de calcul infini...
  - En pratique on tronque cette fonction.

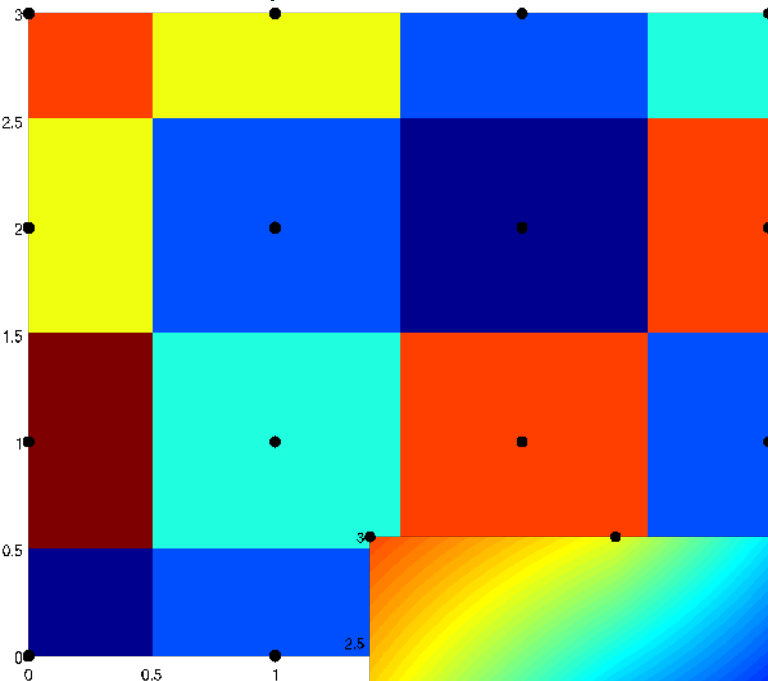


$$L(x) = \begin{cases} \text{sinc}(x) \text{sinc}(x/a) & \text{si } -a < x < a, x \neq 0 \\ 1 & \text{si } x = 0 \\ 0 & \text{sinon} \end{cases}$$

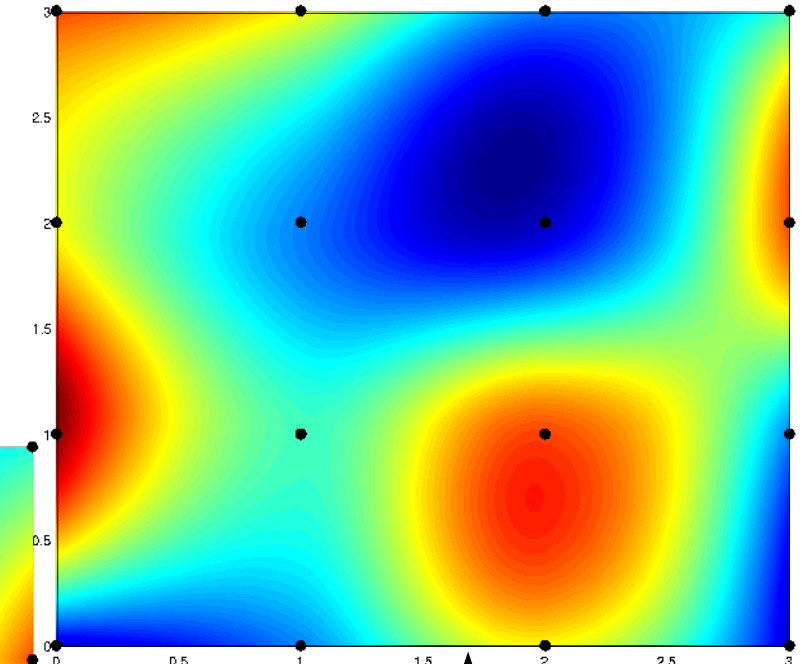
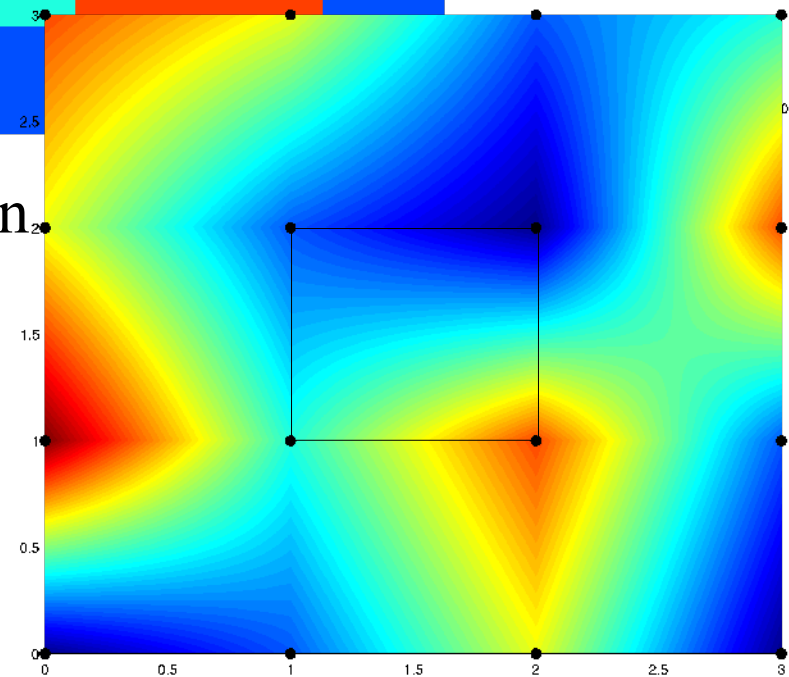
- On obtient le filtre de Lanczos



## Aliasing



Interpolation  
plus proche  
voisin



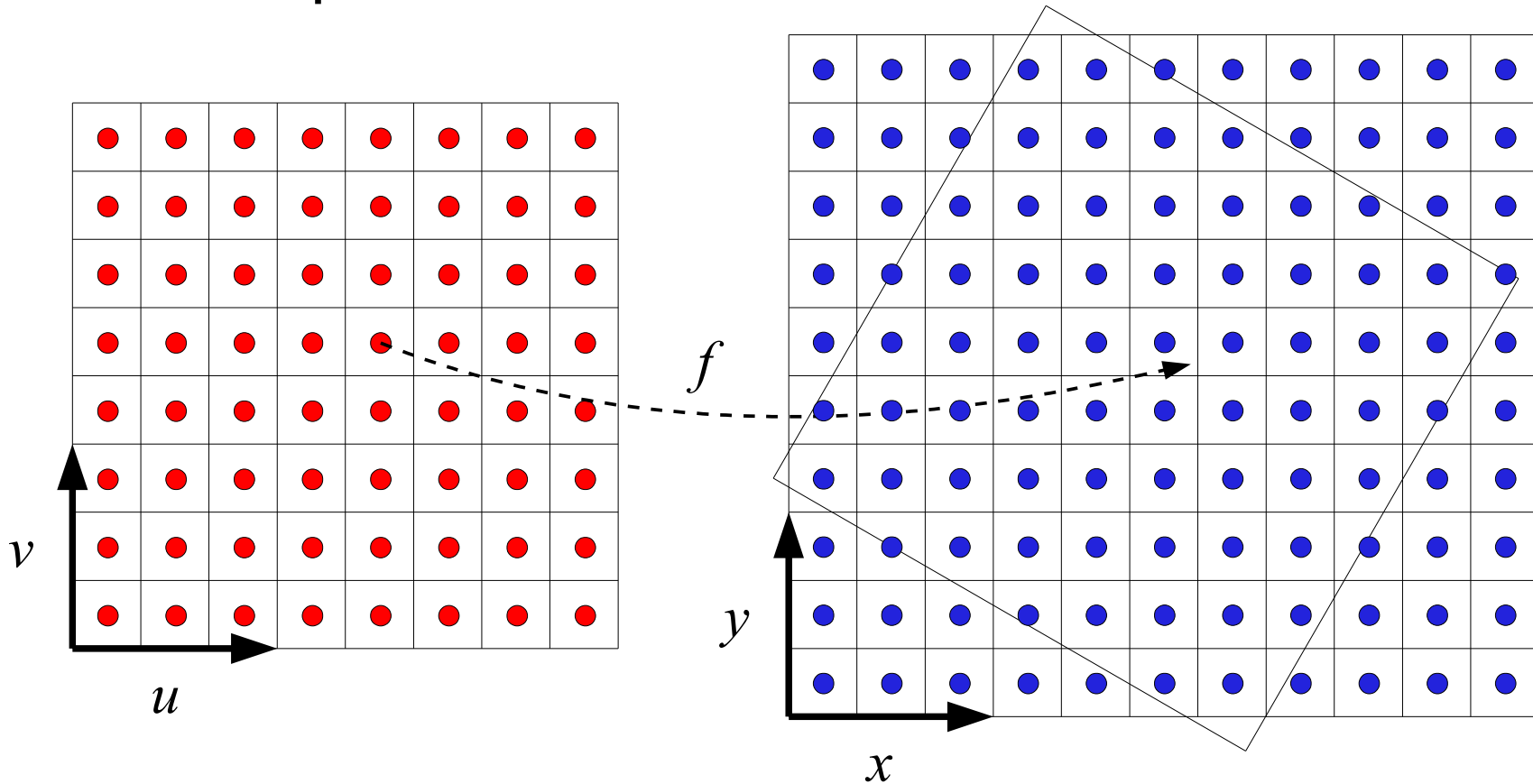
Interpolation bicubique

Interpolation bilinéaire

- Transformation
  - Consiste à modifier la position des échantillons de l'image
    - Rotation
    - Mise à l'échelle
    - Etc...
  - Dans le cas où la discrétisation cible est inférieure, il faut à nouveau filtrer (passe bas) avant d'échantillonner
  - Si la discrétisation cible est identique ou plus fine, il suffit de ré-échantillonner après la reconstruction

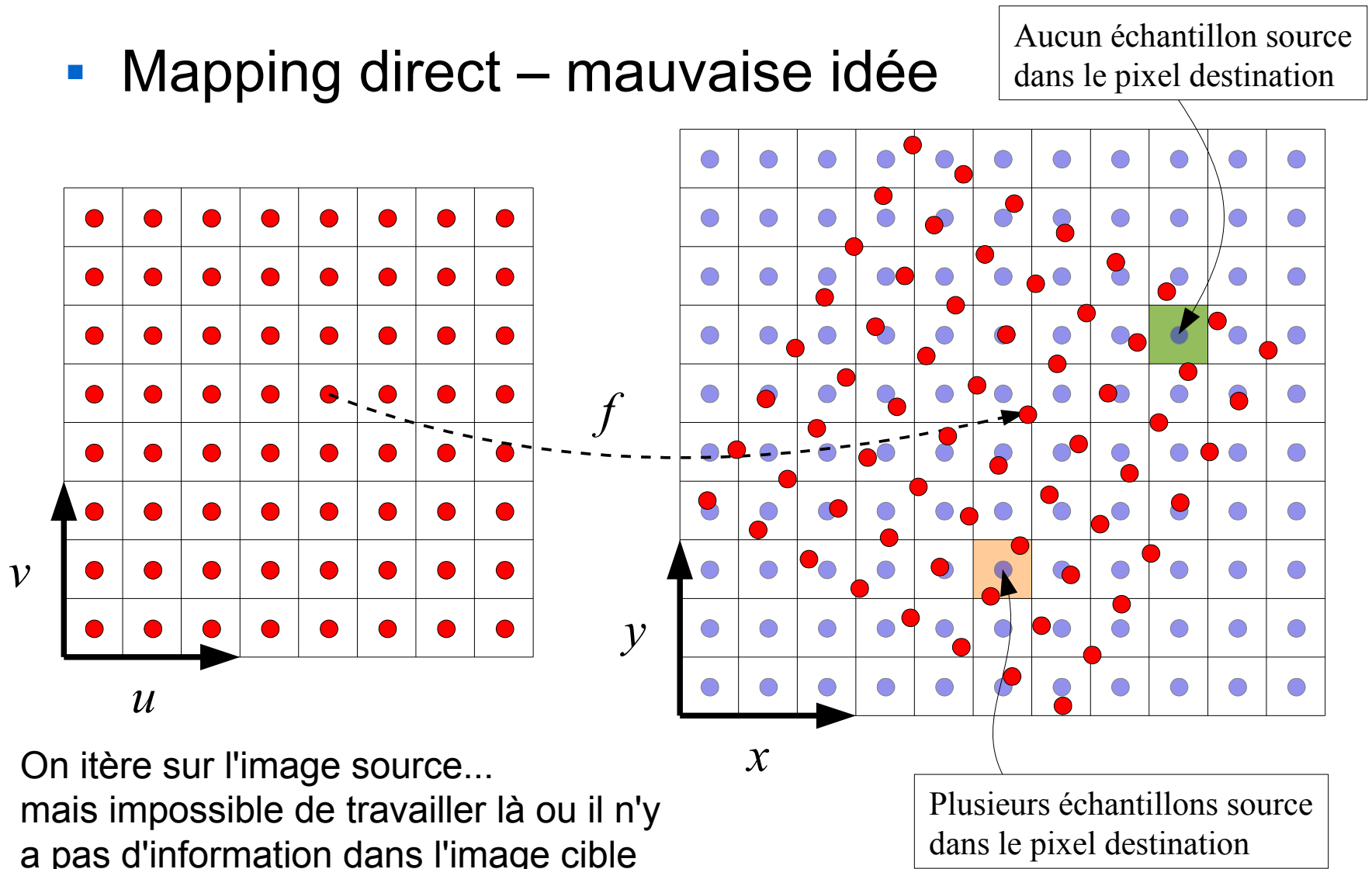
## Aliasing

- Exemple avec une rotation



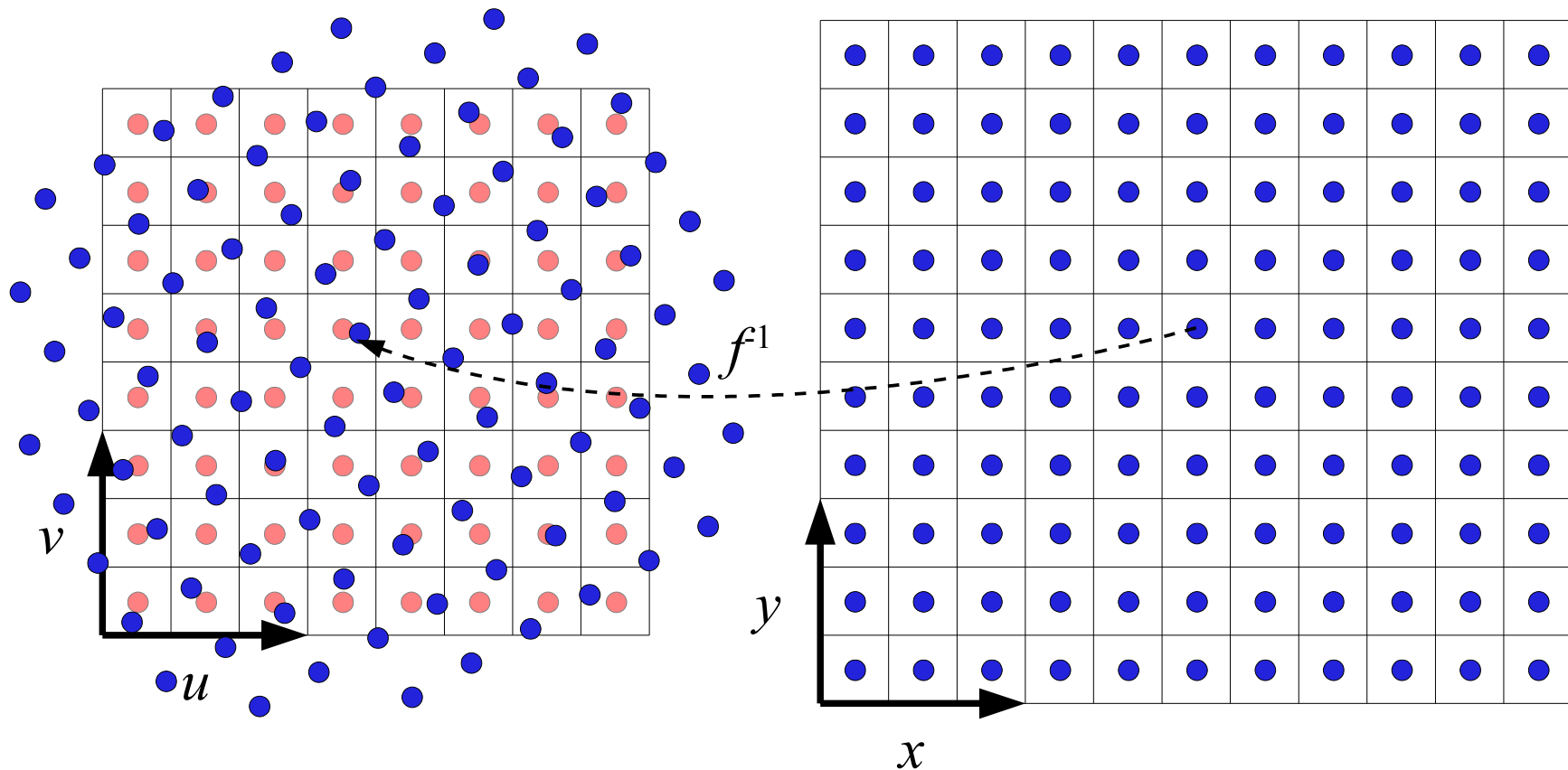
## Aliasing

- Mapping direct – mauvaise idée



## Aliasing

### ■ Mapping inverse



On itère sur l'image cible ...

- Il faut rééchantillonner

- On utilise une reconstruction de l'image source

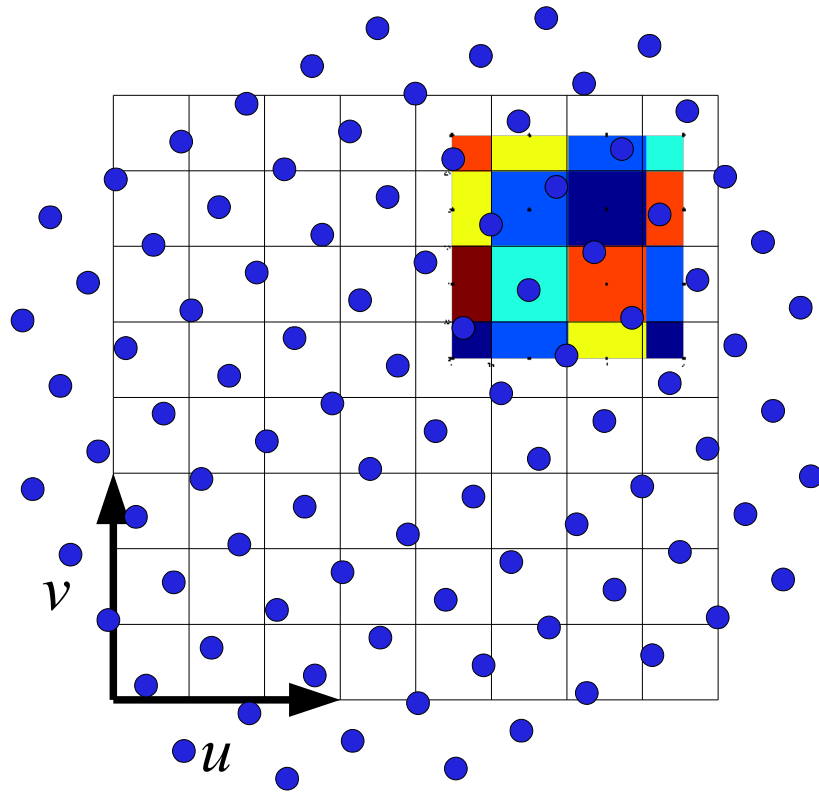


## Aliasing

- La reconstruction est déterminante dans la qualité de l'image cible
  - Plus proche voisin – beaucoup d'aliasing
  - Bilinéaire – flou (perte de détails)
  - Bicubique et « Lanczos » - meilleurs mais coûteux

## Aliasing

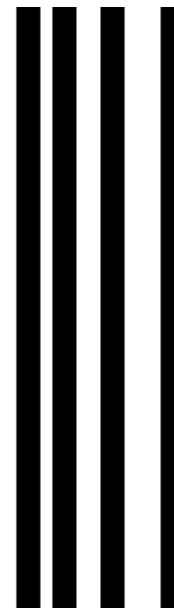
- Plus proche voisin :





## Aliasing

- Série de 36 rotations de  $5^\circ$   $\rightarrow$   $180^\circ$  suivi d'un retournement (sans pertes)
  - Images originales

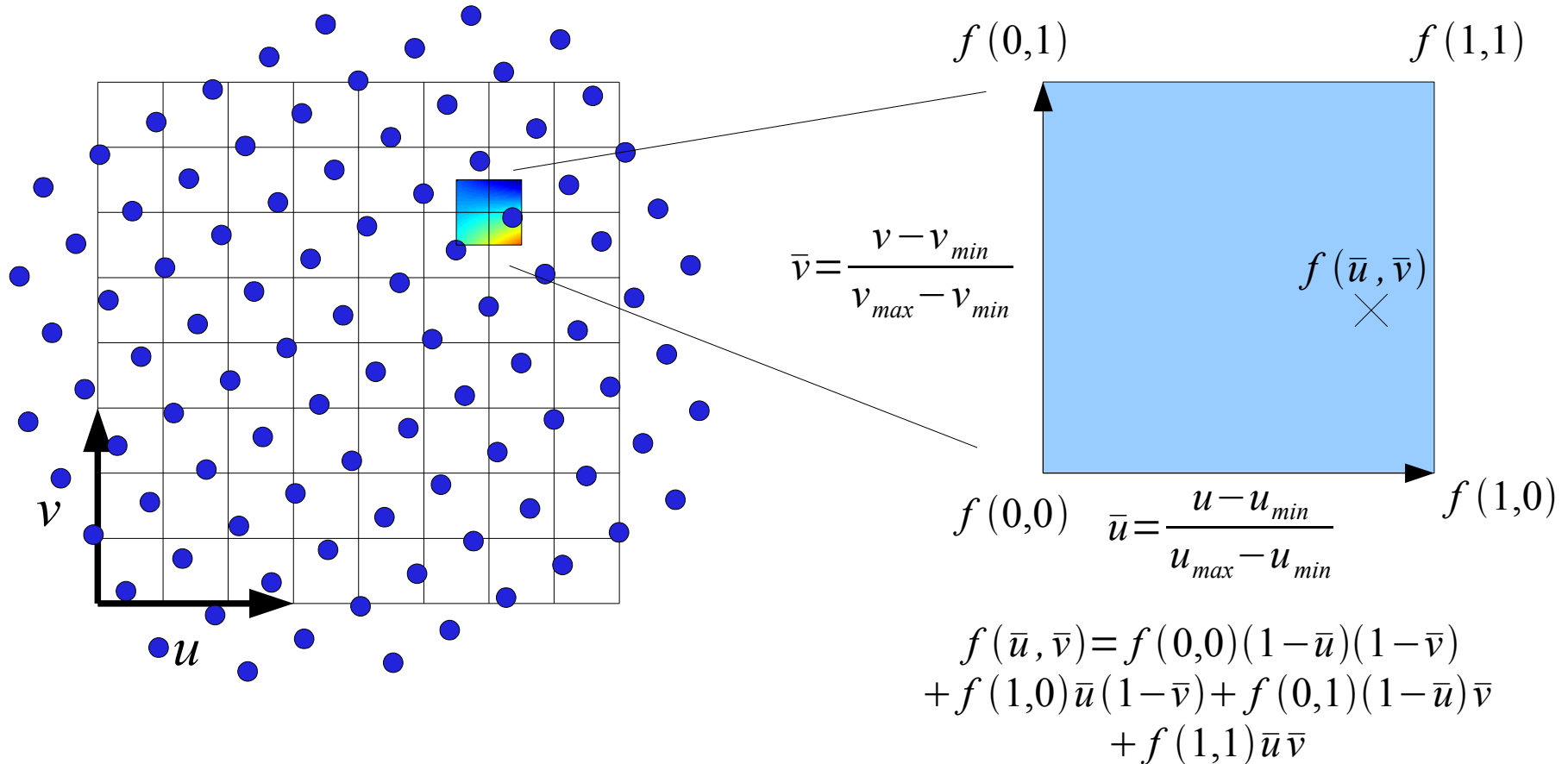


- Filtre « plus proche voisin »

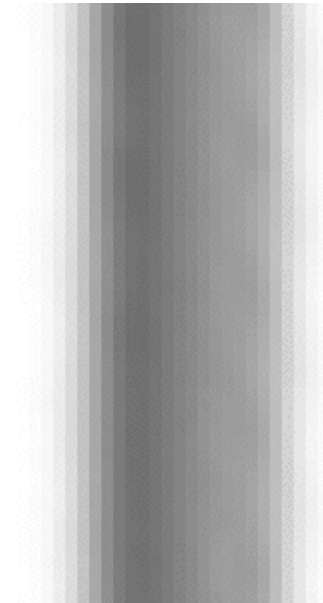


## Aliasing

### ■ Bilineaire :

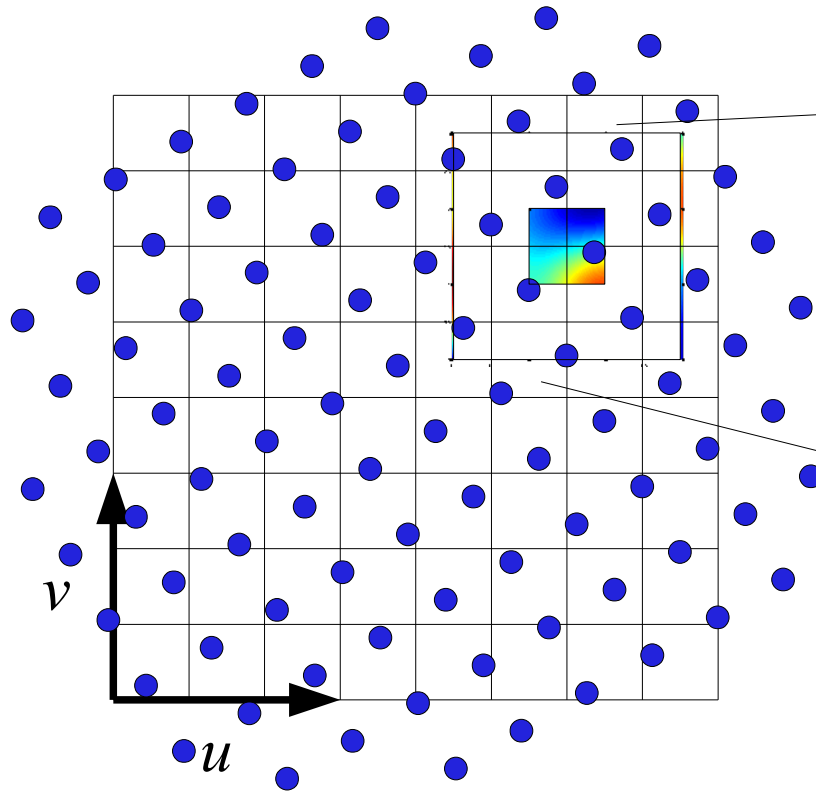


- Filtre « bilinéaire »

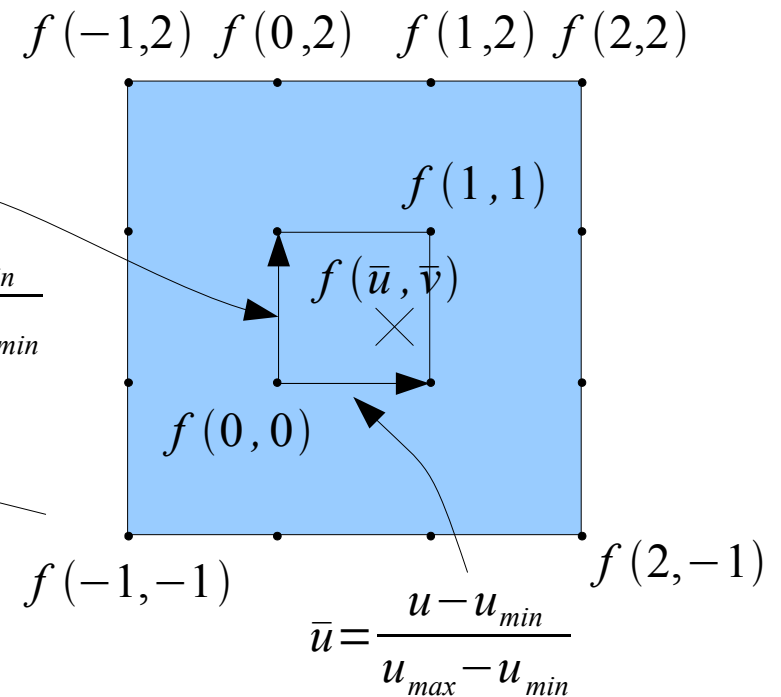


## Aliasing

### ■ Bicubique :



$$\bar{v} = \frac{v - v_{min}}{v_{max} - v_{min}}$$



$$\begin{aligned}
 f(\bar{u}, \bar{v}) = & a_{00} + a_{01} \bar{v} + a_{02} \bar{v}^2 + a_{03} \bar{v}^3 \\
 & + a_{10} \bar{u} + a_{11} \bar{u} \bar{v} + a_{12} \bar{u} \bar{v}^2 + a_{13} \bar{u} \bar{v}^3 \\
 & + a_{20} \bar{u}^2 + a_{21} \bar{u}^2 \bar{v} + a_{22} \bar{u}^2 \bar{v}^2 + a_{23} \bar{u}^2 \bar{v}^3 \\
 & + a_{30} \bar{u}^3 + a_{31} \bar{u}^3 \bar{v} + a_{32} \bar{u}^3 \bar{v}^2 + a_{33} \bar{u}^3 \bar{v}^3
 \end{aligned}$$

## Aliasing

```

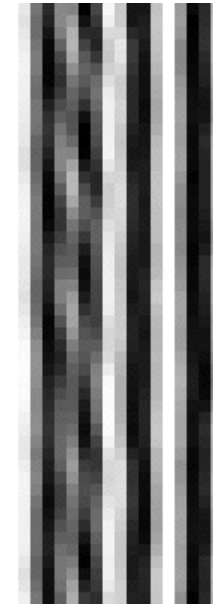
double bicubicInterpolate (double[][] p, double u, double v)
{
double a00 = p[1][1];
double a01 = p[1][2] - p[1][1]/2 - p[1][0]/3 - p[1][3]/6;
double a02 = p[1][0]/2 - p[1][1] + p[1][2]/2;
double a03 = p[1][1]/2 - p[1][0]/6 - p[1][2]/2 + p[1][3]/6;
double a10 = p[2][1] - p[1][1]/2 - p[0][1]/3 - p[3][1]/6;
double a11 = p[0][0]/9 + p[0][1]/6 - p[0][2]/3 + p[0][3]/18 + p[1][0]/6 + p[1][1]/4 - p[1][2]/2 + p[1][3]/12 -
p[2][0]/3 - p[2][1]/2 + p[2][2] - p[2][3]/6 + p[3][0]/18 + p[3][1]/12 - p[3][2]/6 + p[3][3]/36;
double a12 = p[0][1]/3 - p[0][0]/6 - p[0][2]/6 - p[1][0]/4 + p[1][1]/2 - p[1][2]/4 + p[2][0]/2 - p[2][1] + p[2]
[2]/2 - p[3][0]/12 + p[3][1]/6 - p[3][2]/12;
double a13 = p[0][0]/18 - p[0][1]/6 + p[0][2]/6 - p[0][3]/18 + p[1][0]/12 - p[1][1]/4 + p[1][2]/4 - p[1][3]/12 -
p[2][0]/6 + p[2][1]/2 - p[2][2]/2 + p[2][3]/6 + p[3][0]/36 - p[3][1]/12 + p[3][2]/12 - p[3][3]/36;
double a20 = p[0][1]/2 - p[1][1] + p[2][1]/2;
double a21 = p[0][2]/2 - p[0][1]/4 - p[0][0]/6 - p[0][3]/12 + p[1][0]/3 + p[1][1]/2 - p[1][2] + p[1][3]/6 - p[2]
[0]/6 - p[2][1]/4 + p[2][2]/2 - p[2][3]/12;
double a22 = p[0][0]/4 - p[0][1]/2 + p[0][2]/4 - p[1][0]/2 + p[1][1] - p[1][2]/2 + p[2][0]/4 - p[2][1]/2 + p[2]
[2]/4;
double a23 = p[0][1]/4 - p[0][0]/12 - p[0][2]/4 + p[0][3]/12 + p[1][0]/6 - p[1][1]/2 + p[1][2]/2 - p[1][3]/6 -
p[2][0]/12 + p[2][1]/4 - p[2][2]/4 + p[2][3]/12;
double a30 = p[1][1]/2 - p[0][1]/6 - p[2][1]/2 + p[3][1]/6;
double a31 = p[0][0]/18 + p[0][1]/12 - p[0][2]/6 + p[0][3]/36 - p[1][0]/6 - p[1][1]/4 + p[1][2]/2 - p[1][3]/12 +
p[2][0]/6 + p[2][1]/4 - p[2][2]/2 + p[2][3]/12 - p[3][0]/18 - p[3][1]/12 + p[3][2]/6 - p[3][3]/36;
double a32 = p[0][1]/6 - p[0][0]/12 - p[0][2]/12 + p[1][0]/4 - p[1][1]/2 + p[1][2]/4 - p[2][0]/4 + p[2][1]/2 -
p[2][2]/4 + p[3][0]/12 - p[3][1]/6 + p[3][2]/12;
double a33 = p[0][0]/36 - p[0][1]/12 + p[0][2]/12 - p[0][3]/36 - p[1][0]/12 + p[1][1]/4 - p[1][2]/4 + p[1][3]/12
+ p[2][0]/12 - p[2][1]/4 + p[2][2]/4 - p[2][3]/12 - p[3][0]/36 + p[3][1]/12 - p[3][2]/12 + p[3][3]/36;

double u2 = u * u; double u3 = u2 * u; double v2 = v * v; double v3 = v2 * v;
return a00      + a01 * v      + a02 * v2      + a03 * v3 +
      a10 * u  + a11 * u * v  + a12 * u * v2  + a13 * u * v3 +
      a20 * u2 + a21 * u2 * v + a22 * u2 * v2 + a23 * u2 * v3 +
      a30 * u3 + a31 * u3 * v + a32 * u3 * v2 + a33 * u3 * v3;
}

```

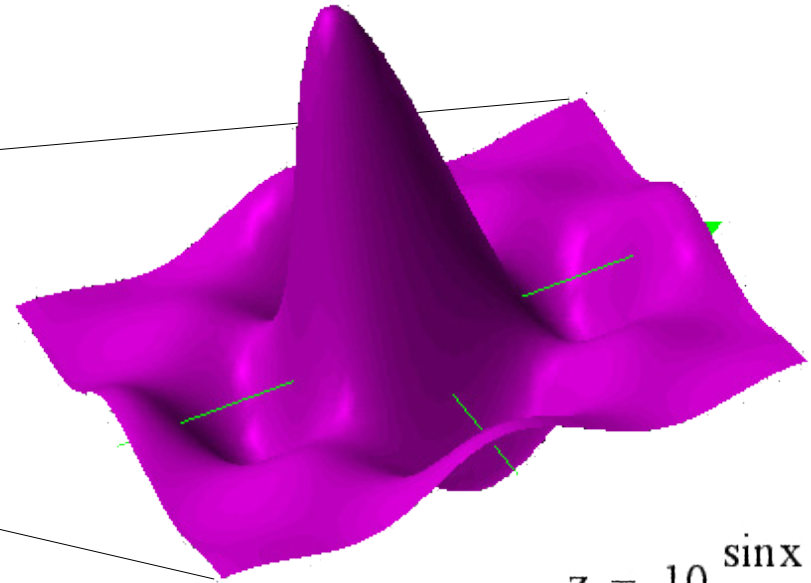
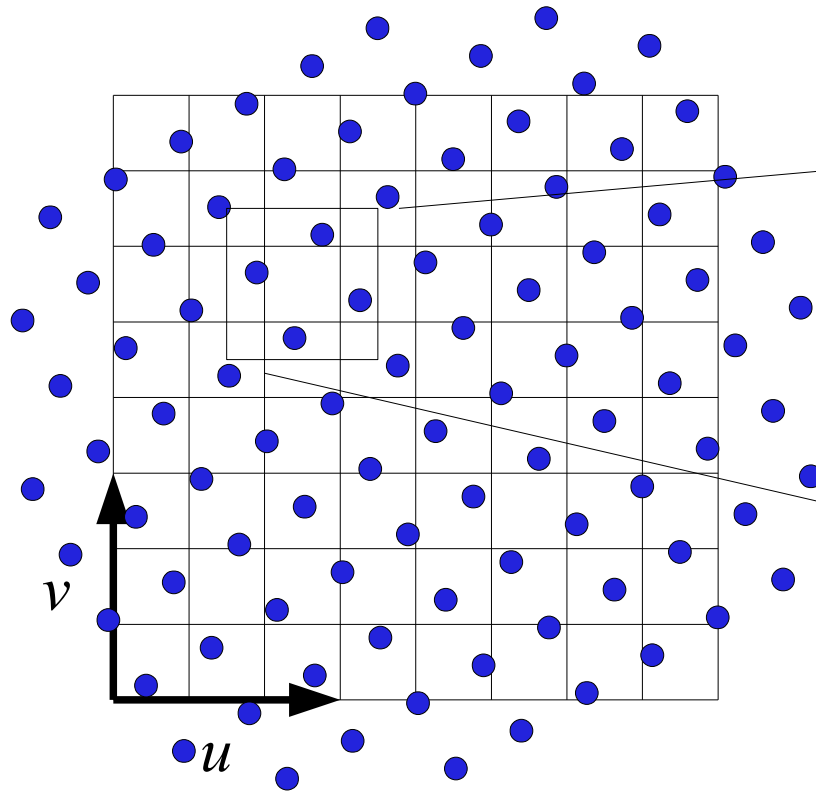
Ici on pose  $p[i][j]=f(i-1, j-1)$

- Filtre « bicubique »



## Aliasing

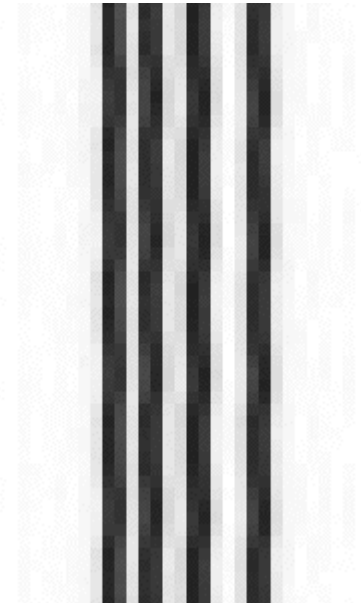
- Lanczos :



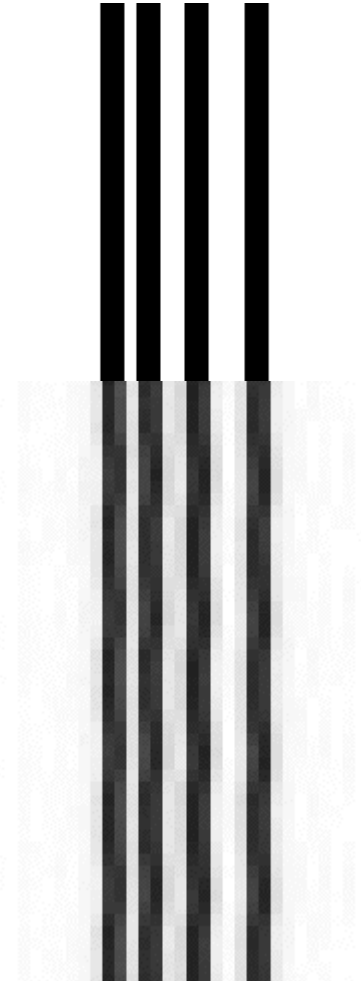
$$z = 10 \frac{\sin x}{x} \frac{\sin y}{y}$$



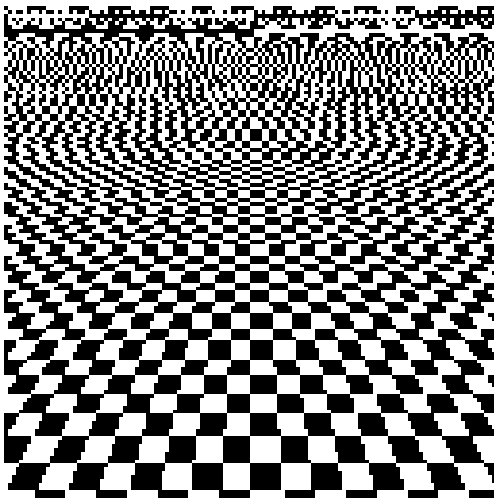
- Filtre « lanczos »



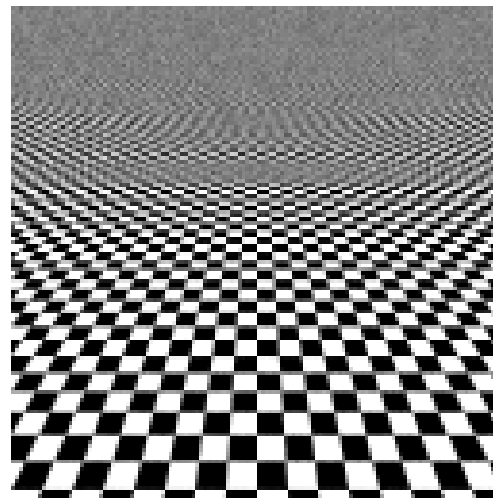
## Aliasing



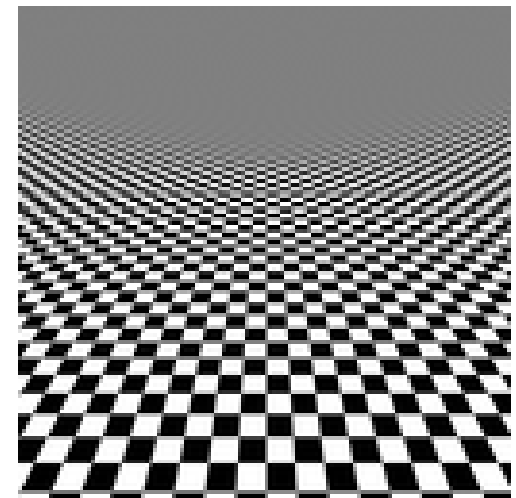
- Autre exemple



Sans antialiasing  
plus proche voisin

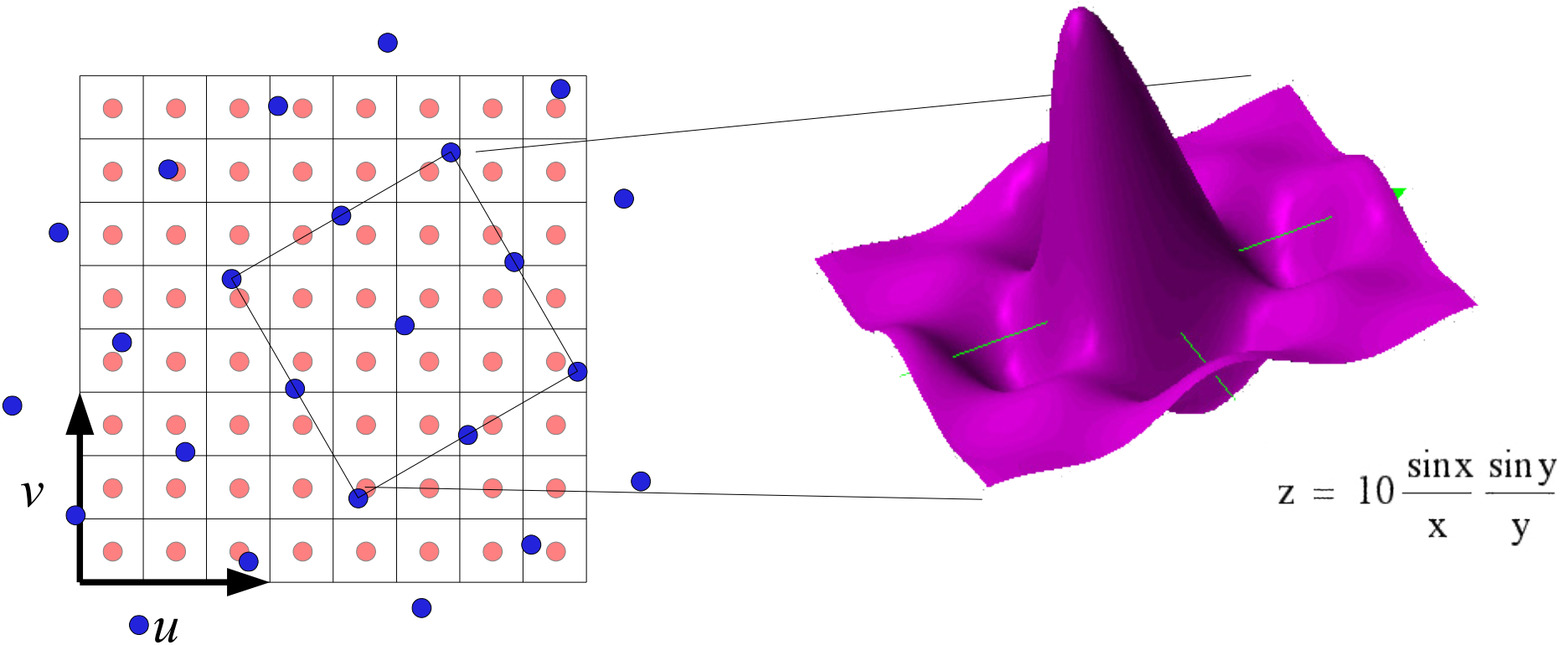


Antialiasing  
par oversampling 4  
et simple moyenne



Antialiasing par  
filtrage Lanczos  
(idéal mais non  
réaliste en temps  
calcul)

- Cas du downsampling



Il faut filtrer les données d'entrée avec un filtre passe bas défini par la résolution du pas de la grille d'arrivée....



Université  
de Liège

# Infographie



## Stockage des images

## Stockage des images

- Idée : les images ne sont pas aléatoires
  - On peut tirer parti de la structure pour stocker les images
  - Deux approches
    - Images vectorielles
    - Images discétisées
      - Compression sans pertes
      - Compression avec pertes contrôlées

tiff      gif      png  
jpg      svg      cin  
            bmp      exr

## Stockage des images

- TIFF : format universel mais parfois implémenté partiellement
- JPG : limité à 8bits/canal, compression DCT avec pertes (WWW)
- PNG : format ouvert, 1/2/4/8 bits indexé, 8/16 bits/ canal; canal alpha (transparence), compression type LZW – pas de brevet (WWW)
- GIF : indexé 8 bits, transparence (1 bit), compression type LZW, animation possible, brevet échu (WWW)
- SVG : images vectorielles
- CIN : vieux format « cineon » 10 bits / canal utilisé pour effets spéciaux. Compression sans pertes
- EXR : format ouvert Lucasfilm (ILM): format 16/32 bits par canal en virgule flottante, compression sans perte
- BMP : vieux format windows sans compression limité à 8 bits par canal + transparence.



- Comment choisir ?
  - Dessin au trait, destiné à être mis à l'échelle --- format vectoriel
  - Images en général, format discrétisé



- Images vectorielles
  - En général pas de compression
  - Exemple type : fontes de caractères destinées à être agrandies
  - Idéal comme format pour des dessins « au trait »

Wmf : windows metafile (exclusivement windows)

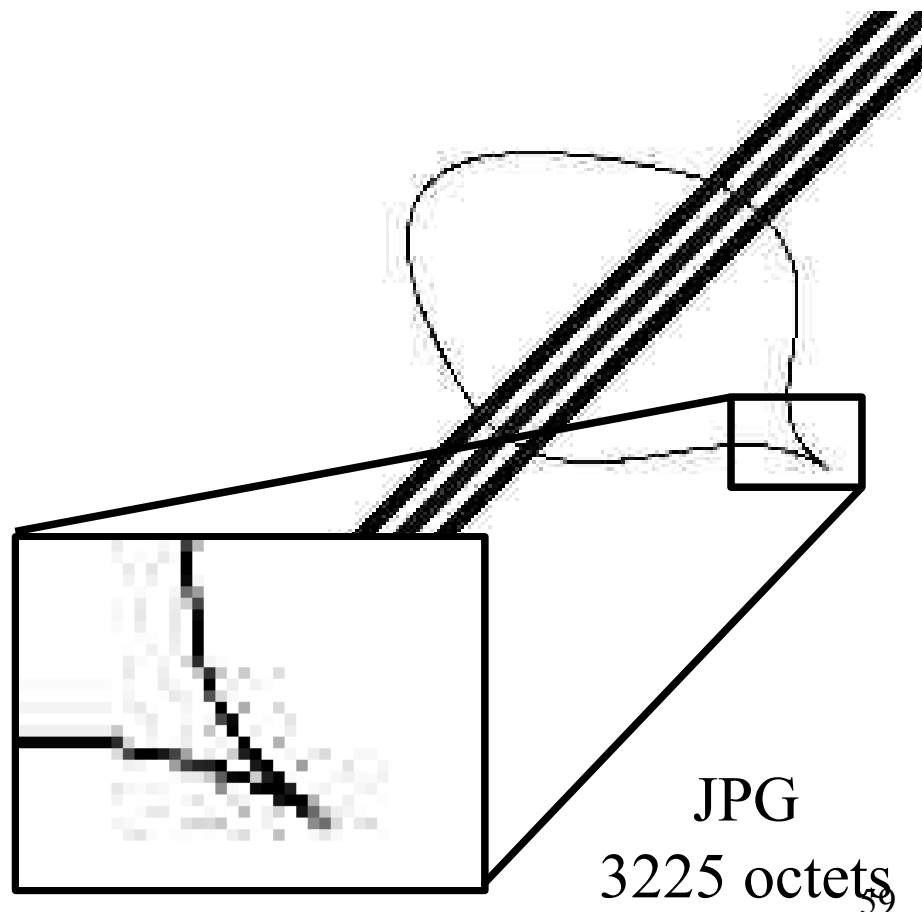
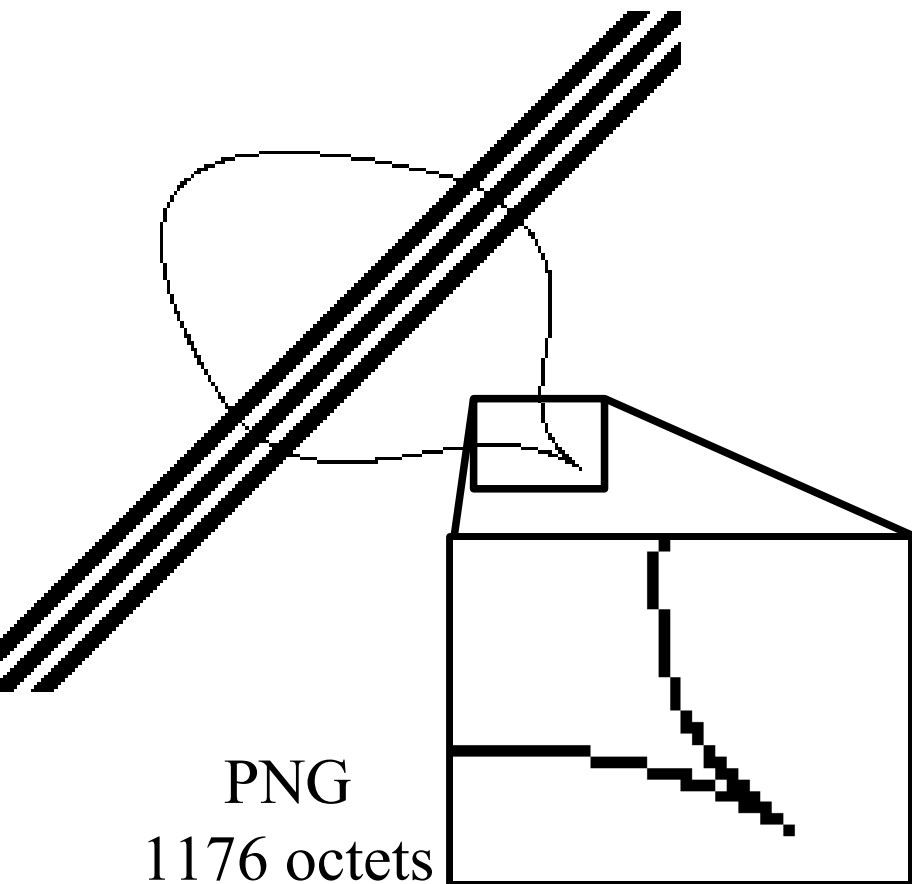
Svg : Scalable vector graphics (standard ouvert)

+ logiciels propriétaires et leurs formats : coreldraw, adobe illustrator...

- Images discrétisées (photos ou autres)
  - Stockage sans compression
    - bmp (vieux), tiff (bits, 16 bits, virg. flottante) , png (8,16 bits/c, canal alpha, coul. Indexées 1,2,4,8 bits), gif (couleurs indexées + canal alpha), exr(virgule flottante 16,32 bits/canal)
  - Compression sans pertes
    - tiff, png, gif, exr
  - Compression avec pertes contrôlées
    - tiff, jpg(8 bits), jpeg2000 (jpg amélioré mais peu utilisé)

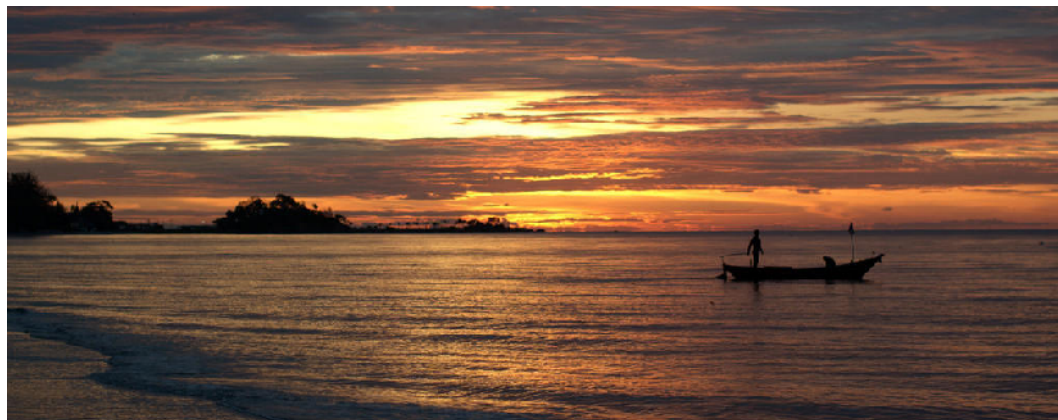
## Stockage des images

- Pour des images avec un faible nombre de couleurs, et/ou avec des traits francs, ne jamais utiliser jpg.



## Stockage des images

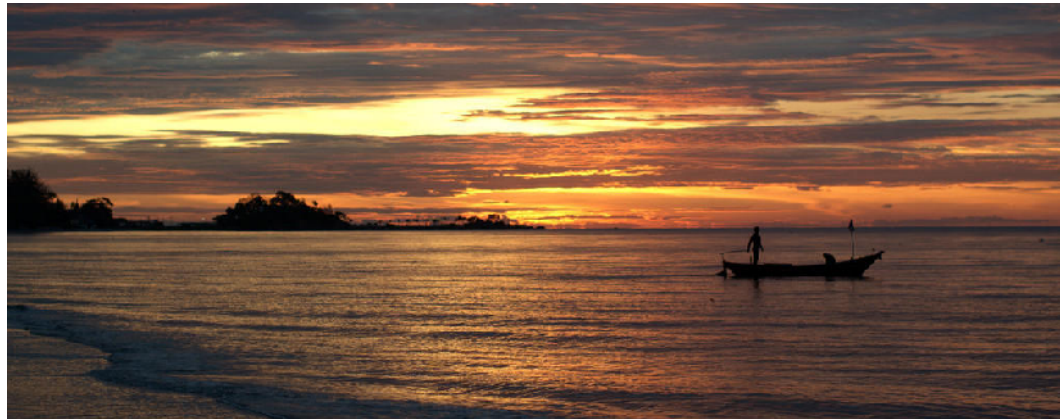
- À l'inverse, des photographies ou des images aux tons continus sont adaptés à JPG.



JPG 24 bits: 85Ko

## Stockage des images

- À l'inverse, des photographies ou des images aux tons continus sont adaptés à JPG.



PNG 24 bits sans pertes : 646Ko

## Stockage des images

- À l'inverse, des photographies ou des images aux tons continus sont adaptés à JPG.



PNG 8bits (256 couleurs) : 227 Ko

## Stockage des images

- À l'inverse, des photographies ou des images aux tons continus sont adaptés à JPG.



PNG 4 bits (16 couleurs) : 108 Ko

- Images à fort contraste (HDR) ou images destinées à être manipulées
  - PNG 16 bits
  - TIFF 16 bits
  - EXR
- Images destinées au WWW ou à l'affichage sur écran de bureau
  - GIF, PNG, JPG
- Si la place n'est pas un problème, toujours privilégier une compression sans pertes et une profondeur (nb bits/plans) élevée.



**Il n'existe pas de format d'image universel !**



Université  
de Liège

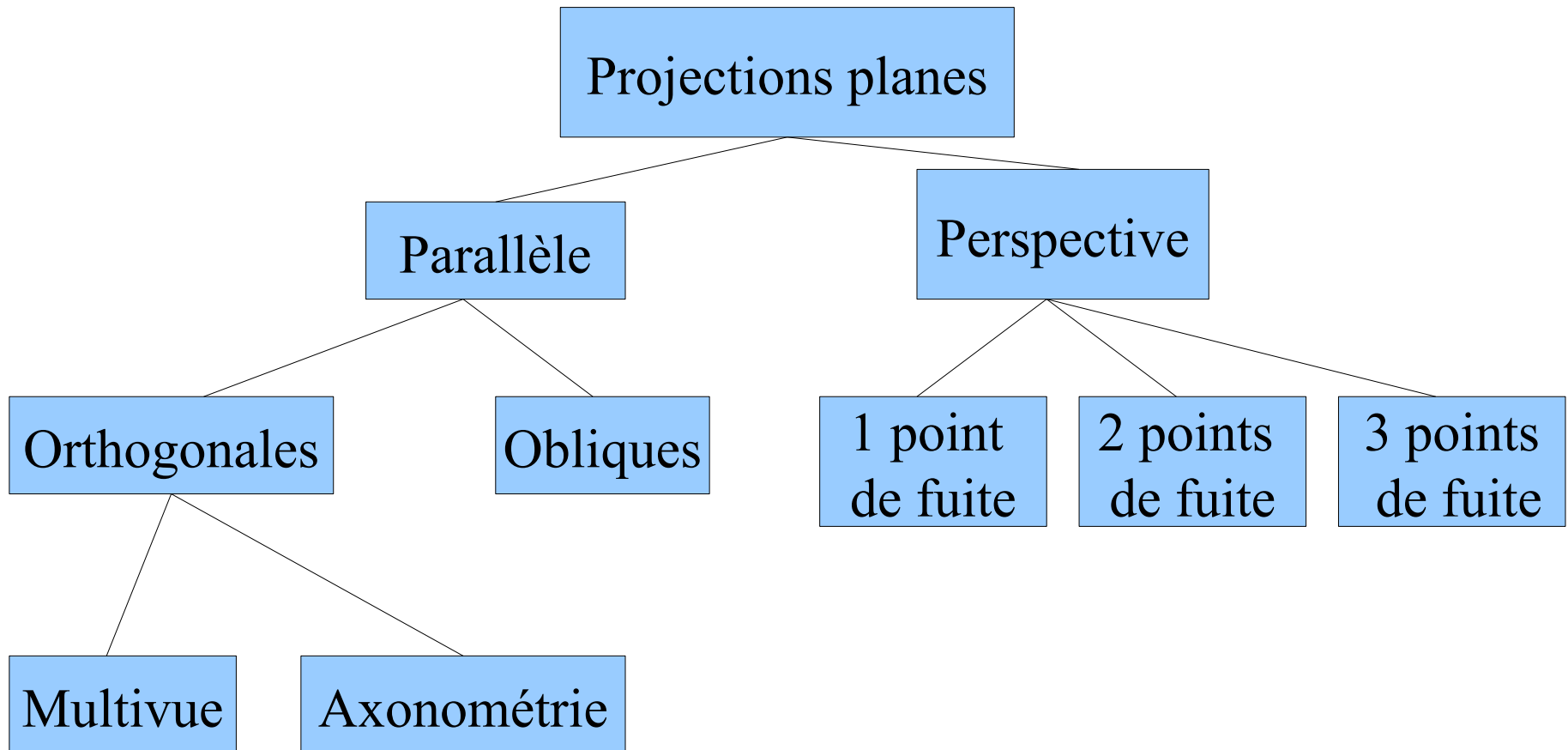
# Infographie



## Perspective et matrices de transformations

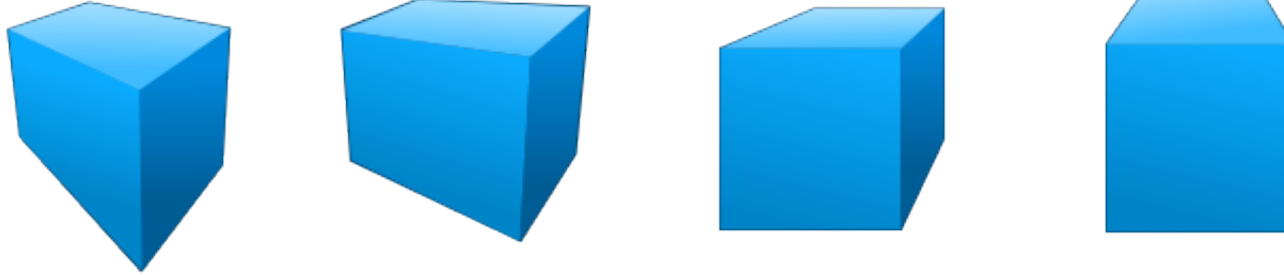
## Perspective

- Projections « classiques »

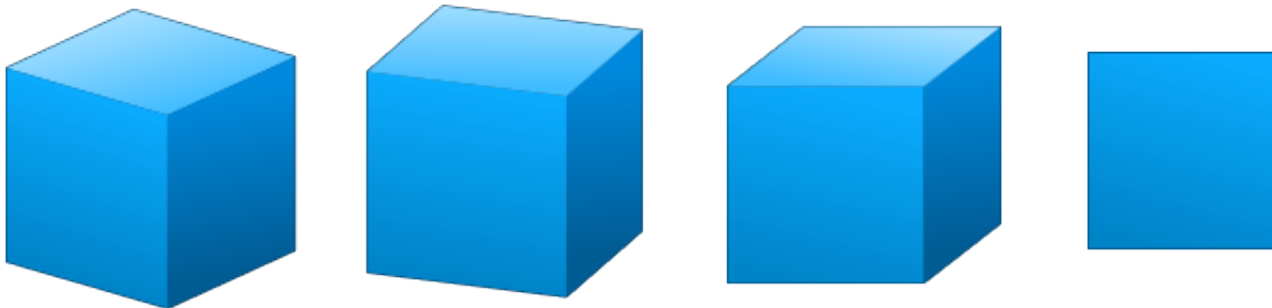


## Perspective

Projection perspective (centrale)



Projection parallèle

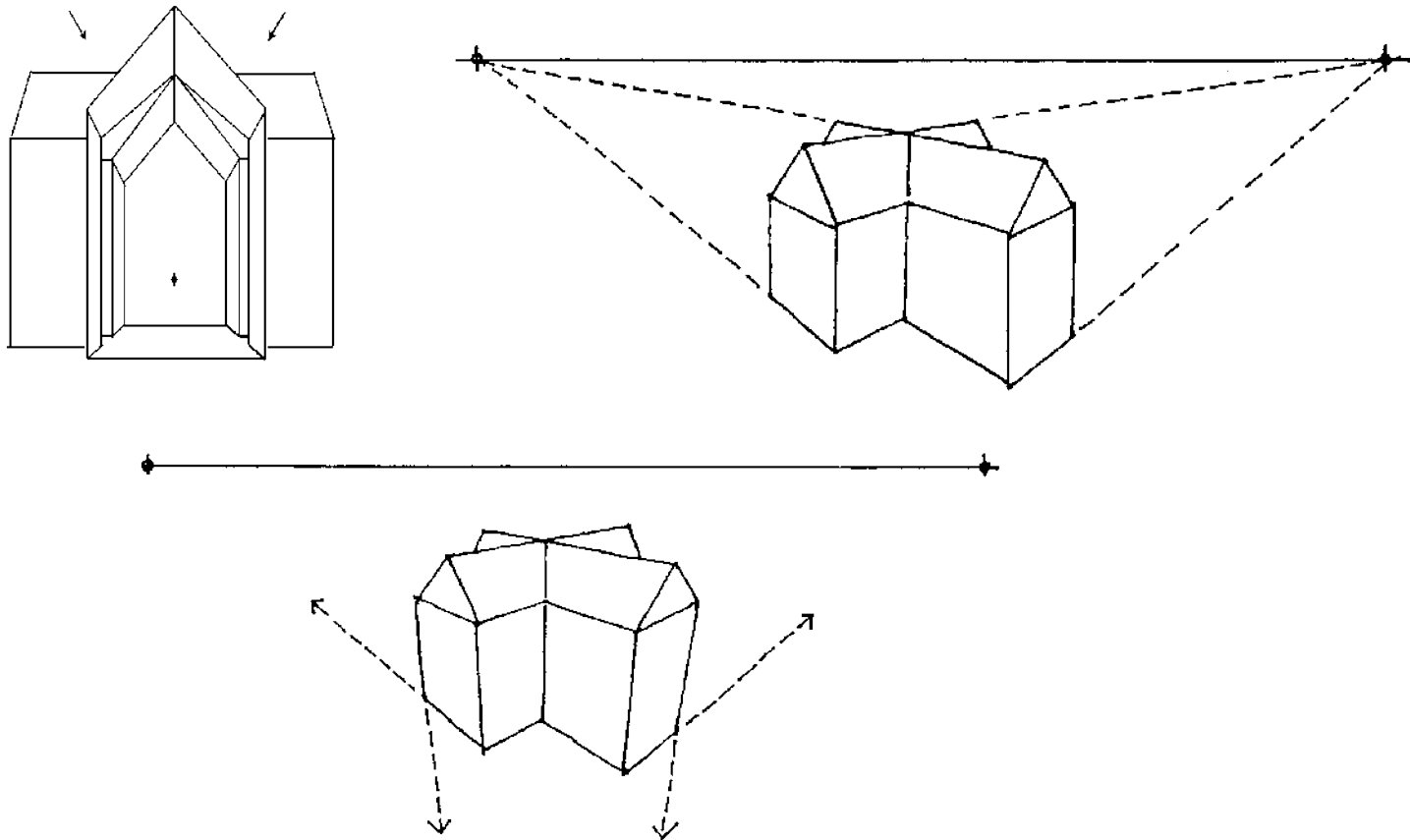


Projection oblique

Axonométrie  
Orthogonale

## Perspective

- Points de fuite en projection perspective





Université  
de Liège

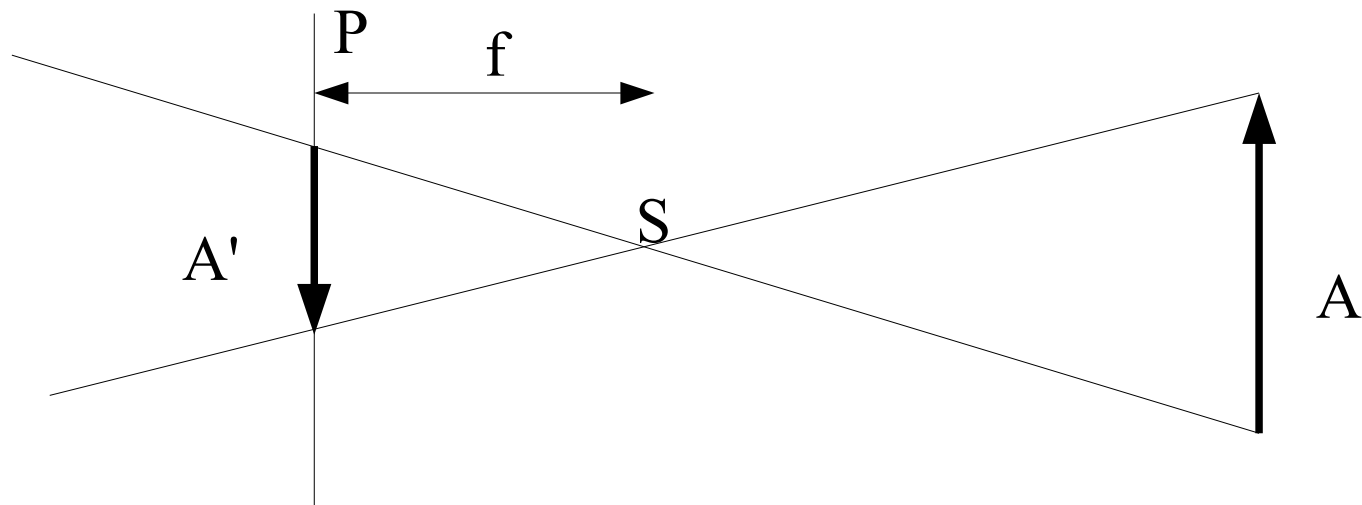
# Infographie

## Perspective



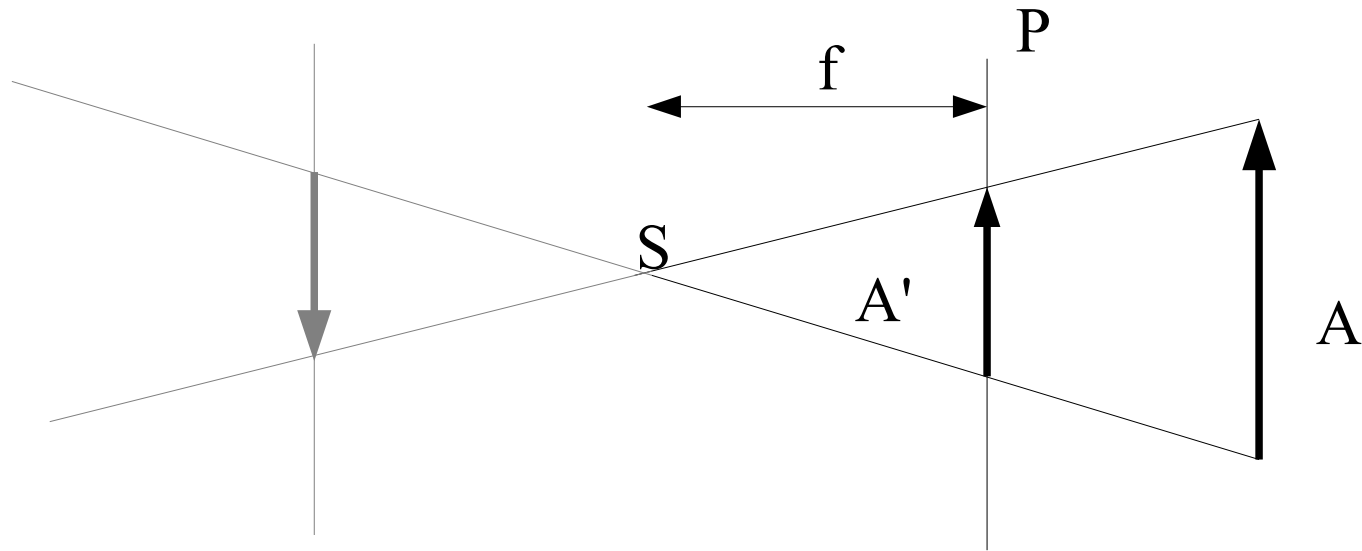
## Perspective

- La perspective est une représentation assez exacte de ce que l'œil voit
  - Basée sur la projection centrale
  - En première approximation, l'œil (ou un appareil photo) est constitué d'un « objectif » se réduisant à un point (le cristallin), et d'un plan de projection de l'image (rétine)



## Perspective

- Configuration équivalente utilisée en infographie





## Perspective

- La projection parallèle correspond au cas limite ou  $f$  tend vers l'infini.





Université  
de Liège

# Infographie



## Transformations géométriques

## Matrices de transformation

- Transformations géométriques
  - Deux buts
    - Obtenir à partir des objets aux coordonnées 3D une projection sur le plan de l'écran (coordonnées 2D + profondeur)
    - A partir d'objets élémentaires, pouvoir les placer n'importe où dans le volume, éventuellement affublés d'opérations telles que le cisaillement ou la mise à l'échelle.



- Cas des transformation linéaires
  - Transformations affines

$$\phi(\mathbf{P}) \equiv \mathbf{A} \cdot \mathbf{P} + \mathbf{u}, \quad \mathbf{u} \in \mathbb{R}^3$$

## Quelques transformations affines

identité :  $\mathbf{u} = \mathbf{0}$ ,  $\mathbf{A} = \mathbf{I}$ ,  $\mathbf{I}$  est la matrice identité,

$$\mathbf{u} = \mathbf{0} ; \mathbf{A} = \begin{bmatrix} 1 & 0 & 0 \\ 0 & 1 & 0 \\ 0 & 0 & 1 \end{bmatrix}$$

translation :

$\mathbf{u}$  est le vecteur de translation,  $\mathbf{A} = \mathbf{I}$ ,

$$\mathbf{u} = \begin{bmatrix} a \\ b \\ c \end{bmatrix} ; \mathbf{A} = \begin{bmatrix} 1 & 0 & 0 \\ 0 & 1 & 0 \\ 0 & 0 & 1 \end{bmatrix}$$

mise à échelle

$\mathbf{u} = \mathbf{0}$ ,  $\mathbf{A}$  est une matrice diagonale dont les termes définissent les échelles selon les axes,

$$\mathbf{u} = \mathbf{0} ; \mathbf{A} = \begin{bmatrix} a & 0 & 0 \\ 0 & b & 0 \\ 0 & 0 & c \end{bmatrix}$$

rotation :

$\mathbf{u} = \mathbf{0}$ ,  $\mathbf{A}$  est une matrice de rotation,

$$\mathbf{u} = \mathbf{0} ; \mathbf{A} = \begin{bmatrix} \cos \theta & -\sin \theta & 0 \\ \sin \theta & \cos \theta & 0 \\ 0 & 0 & 1 \end{bmatrix}$$

## Quelques transformations affines

**cisaillement** :

où **a**, **b**, **c** sont les 3 coefficients  
de cisaillement.

$$u=0 \ ; \ \mathbf{A} = \begin{bmatrix} 1 & a & b \\ 0 & 1 & c \\ 0 & 0 & 1 \end{bmatrix}$$

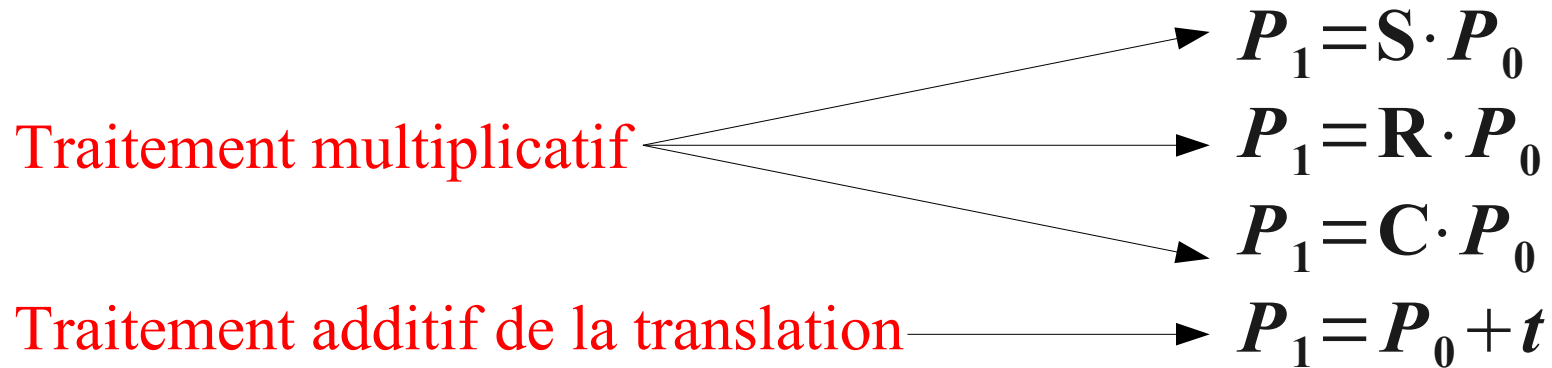
Cas particulier

important :

Si la matrice **A** est orthogonale :  $\mathbf{A}^T = \mathbf{A}^{-1}$

alors **cette transformation conserve les angles et les longueurs.**

## Traitement matriciel



Le traitement n'est pas le même pour toutes les opérations...

## Coordonnées homogène

- De façon à rendre le traitement identique de la translation, on rajoute une coordonnée en plus, fixée pour le moment à 1 :
- La coordonnée supplémentaire servira pour la projection perspective dans la suite

$$\begin{bmatrix} 1 & 0 & 0 \\ 0 & 1 & 0 \\ 0 & 0 & 1 \\ 0 & 0 & 0 \end{bmatrix} \cdot \begin{bmatrix} r \\ s \\ t \\ 1 \end{bmatrix} \cdot \begin{bmatrix} x \\ y \\ z \\ 1 \end{bmatrix} = \begin{bmatrix} x+r \\ y+s \\ z+t \\ 1 \end{bmatrix}$$

Autres opérations

Translation



## Matrices de transformation

- translation :

$$\mathbf{D}(t) = \begin{bmatrix} 1 & 0 & 0 & u \\ 0 & 1 & 0 & v \\ 0 & 0 & 1 & w \\ 0 & 0 & 0 & 1 \end{bmatrix} ; t = \begin{bmatrix} u \\ v \\ w \\ 1 \end{bmatrix}$$

- mise à échelle :

$$\mathbf{S}(p, q, r) = \begin{bmatrix} p & 0 & 0 & 0 \\ 0 & q & 0 & 0 \\ 0 & 0 & r & 0 \\ 0 & 0 & 0 & 1 \end{bmatrix}$$

## Matrices de transformation

- rotation autour de l'axe **z** :

$$\mathbf{R}_z(\theta) = \begin{bmatrix} \cos \theta & -\sin \theta & 0 & 0 \\ \sin \theta & \cos \theta & 0 & 0 \\ 0 & 0 & 1 & 0 \\ 0 & 0 & 0 & 1 \end{bmatrix}$$

- rotation autour de l'axe **x** :

$$\mathbf{R}_x(\theta) = \begin{bmatrix} 1 & 0 & 0 & 0 \\ 0 & \cos \theta & -\sin \theta & 0 \\ 0 & \sin \theta & \cos \theta & 0 \\ 0 & 0 & 0 & 1 \end{bmatrix}$$

- rotation autour de l'axe **y** :

$$\mathbf{R}_y(\theta) = \begin{bmatrix} \cos \theta & 0 & \sin \theta & 0 \\ 0 & 1 & 0 & 0 \\ -\sin \theta & 0 & \cos \theta & 0 \\ 0 & 0 & 0 & 1 \end{bmatrix}$$

## Matrices de transformation

- cisaillement (cas général)  $\mathbf{C}(a, b, c) = \begin{bmatrix} 1 & a & b & 0 \\ 0 & 1 & c & 0 \\ 0 & 0 & 1 & 0 \\ 0 & 0 & 0 & 1 \end{bmatrix}$

- On peut combiner ces matrices de transformation par simple multiplication
  - Respecter l'ordre (pas commutatif !)

$$\mathbf{G}_n = \mathbf{G}_{n-1} \cdots \mathbf{G}_2 \cdot \mathbf{G}_1$$

## Matrices de transformation

- En particulier, on exprime une transformation supplémentaire  $T$ :
  - Par rapport à l'origine du repère ( $O$ )

$$\mathbf{G}_n = \mathbf{T} \cdot \mathbf{G}_{n-1}$$

- Par rapport à la référence d'un objet (transformée de  $O$  par  $\mathbf{G}_{n-1}$ )

$$\mathbf{G}_n = \mathbf{G}_{n-1} \cdot \mathbf{T}$$

- Par rapport à un point  $A$  quelconque

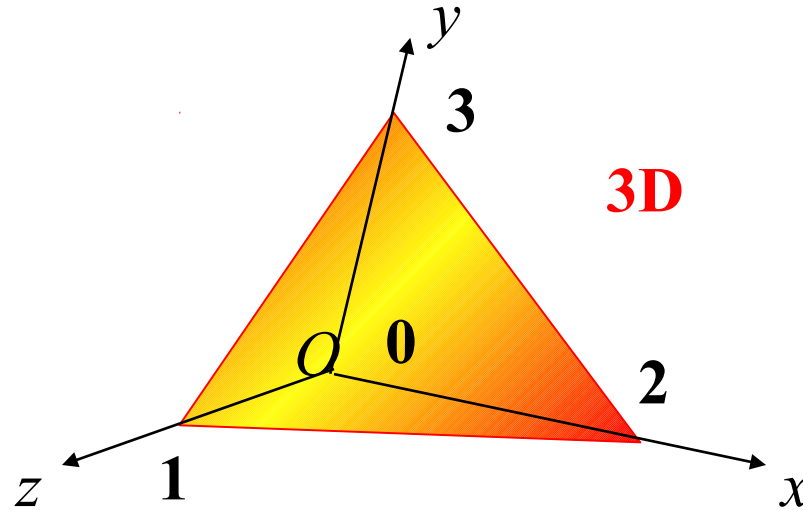
$$\mathbf{G}_n = \mathbf{D}(x_A, y_A, z_A) \cdot \mathbf{T} \cdot \mathbf{D}(-x_A, -y_A, -z_A) \cdot \mathbf{G}_{n-1}$$

## Matrices de transformation

- Changement de repère (pour axonométries ou projection parallèle)
  - Repère 3D global vers repère écran 2D
  - On a 12 paramètres dans la transformation
  - On peut donc spécifier la transformation de façon univoque par 4 points (formant un tétraèdre) et leur transformée
    - Application du théorème de Pohlke

## Matrices de transformation

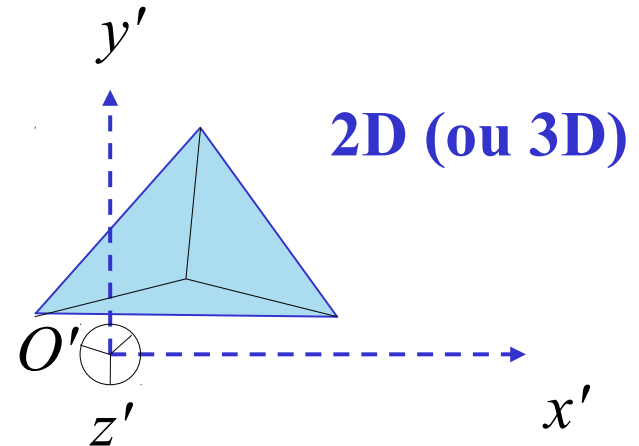
$$P_0 = \begin{bmatrix} 0 & 1 & 0 & 0 \\ 0 & 0 & 1 & 0 \\ 0 & 0 & 0 & 1 \\ 1 & 1 & 1 & 1 \end{bmatrix}$$



$$P_1 = \begin{bmatrix} x_0 & x_1 & x_2 & x_3 \\ y_0 & y_1 & y_2 & y_3 \\ z_0 & z_1 & z_2 & z_3 \\ 1 & 1 & 1 & 1 \end{bmatrix}$$

$$P_1 = T \cdot P_0$$

$$T = P_1 \cdot P_0^{-1}$$



## Matrices de transformation

$$P_0 = \begin{bmatrix} 0 & 1 & 0 & 0 \\ 0 & 0 & 1 & 0 \\ 0 & 0 & 0 & 1 \\ 1 & 1 & 1 & 1 \end{bmatrix} \quad
 P_0^{-1} = \begin{bmatrix} -1 & -1 & -1 & 1 \\ 1 & 0 & 0 & 0 \\ 0 & 1 & 0 & 0 \\ 0 & 0 & 1 & 0 \end{bmatrix} \quad
 P_1 = \begin{bmatrix} x_0 & x_1 & x_2 & x_3 \\ y_0 & y_1 & y_2 & y_3 \\ z_0 & z_1 & z_2 & z_3 \\ 1 & 1 & 1 & 1 \end{bmatrix}$$

$$\mathbf{T} = \begin{bmatrix} x_1 - x_0 & x_2 - x_0 & x_3 - x_0 & x_0 \\ y_1 - y_0 & y_2 - y_0 & y_3 - y_0 & y_0 \\ z_1 - z_0 & z_2 - z_0 & z_3 - z_0 & z_0 \\ 0 & 0 & 0 & 1 \end{bmatrix}$$

Cette matrice permet de projeter les coordonnées dans un système d'axes quelconques

## Matrices de transformation

- A l'aide des transformations que l'on vient de voir, on peut :
  - Passer des coordonnées de l'espace  $(x,y,z)$  aux coordonnées d'un écran  $(x',y',z'=profondeur)$  en exprimant la position dans l'espace du point de vue lié à l'écran
  - Tenir compte d'un facteur d'échelle pour ajuster la dimension virtuelle de l'écran dans l'espace  $(x,y,z)$  et passer de  $(x,y)$  à  $(i,j)$  qui est la position géométrique sur l'écran
- La troisième coordonnée (profondeur  $z$ ) peut servir pour le calcul des faces cachées.



## Matrices de transformation

- Cas des points pour lesquels la 4<sup>ème</sup> coordonnée est différente de 1
  - On considère que les points situés le long d'une ligne à partir de l'origine sont tous équivalents
  - Cela correspond à une projection centrale sur l'hyperplan  $w=1$  ; les deux points suivants sont équivalents :

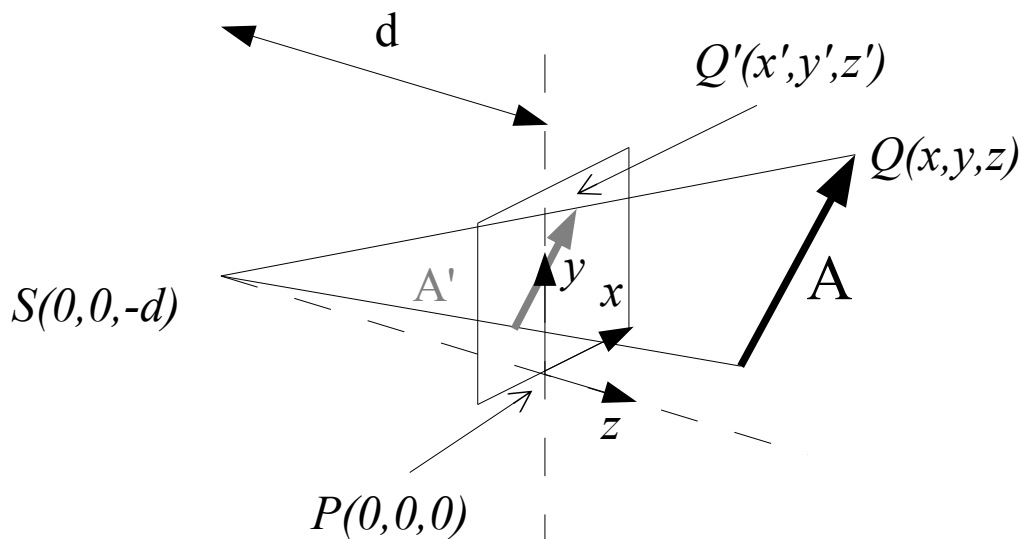
$$[wx, wy, wz, w] \Leftrightarrow [x, y, z, 1]$$

- Si  $w=0$ , on parle de *vecteur* en coordonnées homogènes

$$[x, y, z, 0]$$

## Matrices de transformation

- Transformation perspective
  - On va se placer dans un cas particulier qui n'ôte rien à la généralité de l'approche
    - P est l'origine O du repère
    - L'écran est un plan de normale (0,0,1) (perpendiculaire à z)



$$\frac{x'}{x} = \frac{y'}{y} = \frac{d}{d+z}$$

$$z' = 0$$

## Matrices de transformation

- Coordonnées écran en fonction des coordonnées espace

$$x' = \frac{x}{1 + \frac{z}{d}}$$

$$y' = \frac{y}{1 + \frac{z}{d}}$$

$$z' = 0$$

- On va s'arranger pour que la 3ème coordonnée subisse la même mise à l'échelle

$$x' = \frac{x}{1 + \frac{z}{d}}$$

$$y' = \frac{y}{1 + \frac{z}{d}}$$

$$z' = \frac{z}{1 + \frac{z}{d}}$$

## Matrices de transformation

- Les trois coordonnées cartésiennes :

$$x' = \frac{x}{1 + \frac{z}{d}}$$

$$y' = \frac{y}{1 + \frac{z}{d}}$$

$$z' = \frac{z}{1 + \frac{z}{d}}$$

peuvent être exprimées sous forme de  
coordonnées homogènes

$$\left( \frac{x}{1 + \frac{z}{d}}, \frac{y}{1 + \frac{z}{d}}, \frac{z}{1 + \frac{z}{d}}, 1 \right) \equiv (x, y, z, 1 + \frac{z}{d})$$

## Matrices de transformation

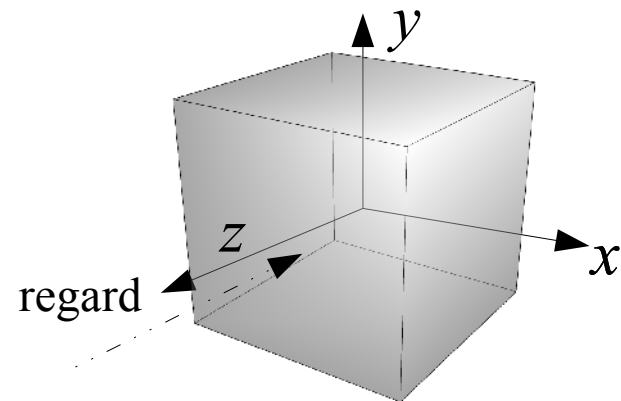
- On peut donc écrire la transformation sous forme de transformation linéaire (un cisaillement) dans l'espace homogène

$$\begin{pmatrix} x \\ y \\ z \\ 1 + \frac{z}{d} \end{pmatrix} = \begin{pmatrix} 1 & 0 & 0 & 0 \\ 0 & 1 & 0 & 0 \\ 0 & 0 & 1 & 0 \\ 0 & 0 & \frac{1}{d} & 1 \end{pmatrix} \cdot \begin{pmatrix} x \\ y \\ z \\ 1 \end{pmatrix}$$

- Les opérations suivantes conduisent à l'image désirée :
  - Le cisaillement en 4D
  - Puis une projection perspective vers l'espace 3D (par la division perspective)
  - Puis une projection orthogonale sur l'écran  $z=cste$

## Matrices de transformation

- Champ de vision et construction effective des matrices de transformation
  - Champ de vision canonique
    - $(x_c, y_c, z_c) \in [-1, 1]^3$
    - Ecran : constitué par  $(n_x, n_y)$  pixels, centré à l'origine, dans le plan  $(x_c, y_c) : (x_p, y_p) \in [-0.5, n_x - 0.5] \times [-0.5, n_y - 0.5]$
    - Transformation du champ canonique vers les coordonnées écran



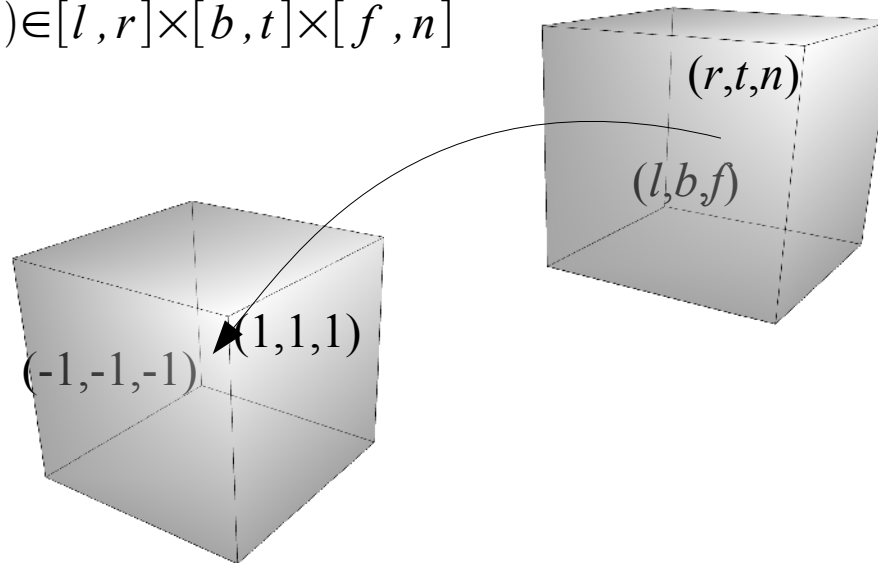
$$\begin{pmatrix} x_p \\ y_p \\ z_p \\ 1 \end{pmatrix} = \underbrace{\begin{pmatrix} \frac{n_x}{2} & 0 & 0 & \frac{n_x-1}{2} \\ 0 & -\frac{n_y}{2} & 0 & \frac{n_y-1}{2} \\ 0 & 0 & 1 & 0 \\ 0 & 0 & 0 & 1 \end{pmatrix}}_{M_s} \cdot \begin{pmatrix} x_c \\ y_c \\ z_c \\ 1 \end{pmatrix}$$

NB : Si  $y_c$  est inversé, il faut en tenir compte ...

## Matrices de transformation

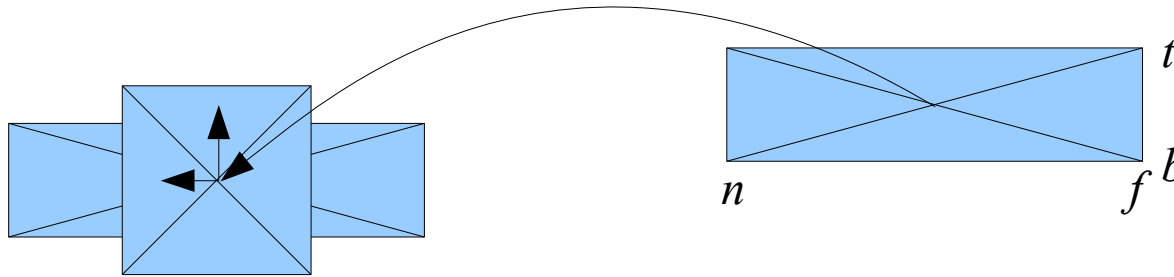
- Projection orthographique
  - On va faire correspondre un volume déterminé avec le volume canonique
    - Ce volume est aligné avec le volume canonique mais n'a pas le même centre, ni les mêmes dimensions

$$(x_d, y_d, z_d) \in [l, r] \times [b, t] \times [f, n]$$



## Matrices de transformation

- La transformation revient à une translation suivie d'une dilatation.

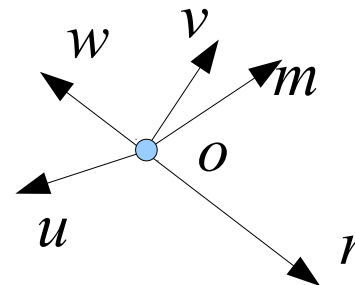
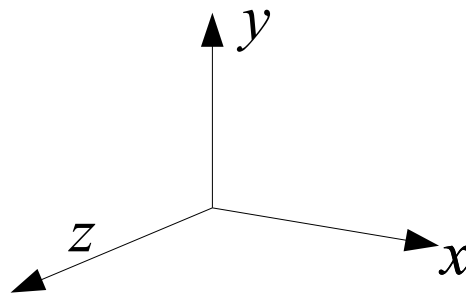


$$\begin{pmatrix} x_c \\ y_c \\ z_c \\ 1 \end{pmatrix} = \underbrace{\begin{pmatrix} \frac{2}{r-l} & 0 & 0 & 0 \\ 0 & \frac{2}{t-b} & 0 & 0 \\ 0 & 0 & \frac{2}{n-f} & 0 \\ 0 & 0 & 0 & 1 \end{pmatrix} \cdot \begin{pmatrix} 1 & 0 & 0 & -\frac{r+l}{2} \\ 0 & 1 & 0 & -\frac{b+t}{2} \\ 0 & 0 & 1 & -\frac{n+f}{2} \\ 0 & 0 & 0 & 1 \end{pmatrix}}_{M_c} \cdot \begin{pmatrix} x_d \\ y_d \\ z_d \\ 1 \end{pmatrix}$$



## Matrices de transformation

- Orientation arbitraire du point de vue
  - On voudrait pouvoir regarder dans une direction arbitraire et à partir d'un point quelconque
    - On définit la position de l'œil ( $o$ ), la direction du regard ( $r$ ) et le « midi » -verticale selon l'observateur- ( $m$ )
    - On détermine un repère orthonormé ( $o,u,v,w$ ) à partir de ces données



$$w = -\frac{r}{\|r\|}$$

$$u = -\frac{m \times w}{\|m \times w\|}$$

$$v = w \times u$$

## Matrices de transformation

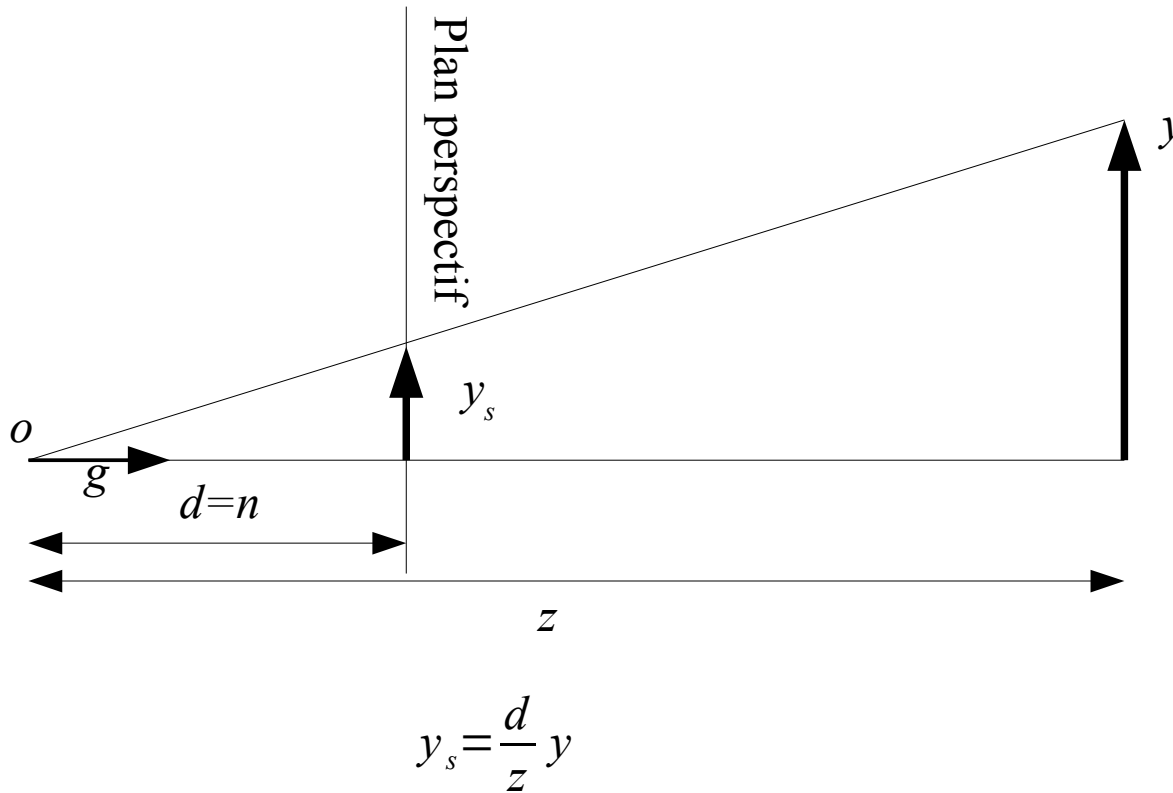
- L'alignement des coordonnées de l'espace avec celles de l'observateur se fait avec deux transformations
  - Translation amenant les coordonnées de l'œil vers l'origine
  - Rotation autour des axes pour les aligner avec les axes globaux

$$\begin{pmatrix} x_d \\ y_d \\ z_d \\ 1 \end{pmatrix} = \underbrace{\begin{pmatrix} x_u & y_u & z_u & 0 \\ x_v & y_v & z_v & 0 \\ x_w & y_w & z_w & 0 \\ 0 & 0 & 0 & 1 \end{pmatrix} \begin{pmatrix} 1 & 0 & 0 & -x_o \\ 0 & 1 & 0 & -y_o \\ 0 & 0 & 1 & -z_o \\ 0 & 0 & 0 & 1 \end{pmatrix}}_{M_v} \begin{pmatrix} x_e \\ y_e \\ z_e \\ 1 \end{pmatrix}$$

- On peut aussi utiliser le théorème de Pohlke...à l'envers !

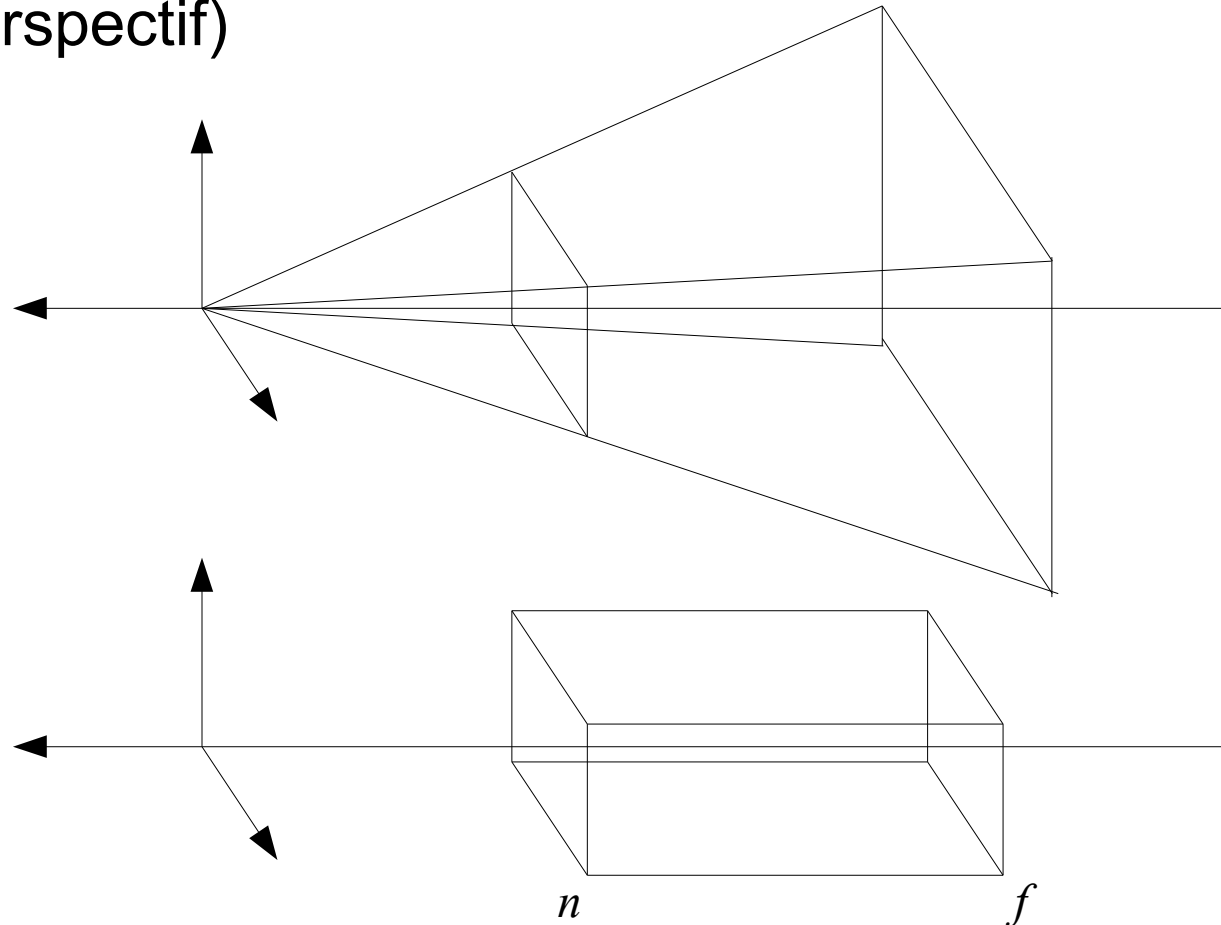
## Matrices de transformation

- Transformation perspective



## Matrices de transformation

- On voudrait ici garder la valeur «  $z$  » sur le plan  $f$ , et conserver  $(x,y,z)$  sur le plan  $n$  (plan de projection ou plan perspectif)



## Matrices de transformation

- Pour utiliser les coordonnées homogènes,
  - Les trois composantes doivent être divisées par la même valeur
  - Reprenons ce que l'on a vu :

$$\begin{pmatrix} x \\ y \\ z \\ 1 + \frac{z}{d} \end{pmatrix} = \begin{pmatrix} 1 & 0 & 0 & 0 \\ 0 & 1 & 0 & 0 \\ 0 & 0 & 1 & 0 \\ 0 & 0 & \frac{1}{d} & 1 \end{pmatrix} \cdot \begin{pmatrix} x \\ y \\ z \\ 1 \end{pmatrix}$$

- Par rapport à cette matrice, on a un déplacement pour amener l'oeil en (0,0,0)
- Et une petite modification pour laisser les points en  $z=f$  inchangés

## Matrices de transformation

- Déplacement de  $(0,0,-n)$

$$\begin{pmatrix} 1 & 0 & 0 & 0 \\ 0 & 1 & 0 & 0 \\ 0 & 0 & 1 & 0 \\ 0 & 0 & \frac{1}{n} & 1 \end{pmatrix} \cdot \begin{pmatrix} 1 & 0 & 0 & 0 \\ 0 & 1 & 0 & 0 \\ 0 & 0 & 1 & -n \\ 0 & 0 & 0 & 1 \end{pmatrix} = \begin{pmatrix} 1 & 0 & 0 & 0 \\ 0 & 1 & 0 & 0 \\ 0 & 0 & 1 & -n \\ 0 & 0 & \frac{1}{n} & 0 \end{pmatrix}$$

- Garder  $z = f$  et  $z = n$  inchangés

$$\begin{pmatrix} x \frac{n}{z} \\ y \frac{n}{z} \\ (z\alpha + \beta) \frac{n}{z} \\ 1 \end{pmatrix} \equiv \begin{pmatrix} 1 & 0 & 0 & 0 \\ 0 & 1 & 0 & 0 \\ 0 & 0 & \alpha & \beta \\ 0 & 0 & \frac{1}{n} & 0 \end{pmatrix} \cdot \begin{pmatrix} x \\ y \\ z \\ 1 \end{pmatrix}$$

$$\begin{cases} n \frac{(n\alpha + \beta)}{n} = n \\ n \frac{(f\alpha + \beta)}{f} = f \end{cases} \Rightarrow \begin{cases} \alpha = \frac{n+f}{n} \\ \beta = -f \end{cases}$$

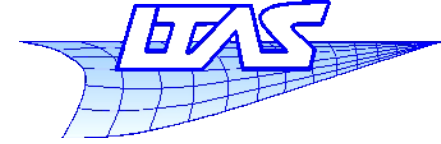
## Matrices de transformation

- Matrice perspective

$$\begin{pmatrix} x_e \\ y_e \\ z_e \\ 1 \end{pmatrix} \equiv \begin{pmatrix} 1 & 0 & 0 & 0 \\ 0 & 1 & 0 & 0 \\ 0 & 0 & \frac{n+f}{n} & -f \\ 0 & 0 & \frac{1}{n} & 0 \end{pmatrix} \cdot \begin{pmatrix} x \\ y \\ z \\ 1 \end{pmatrix}$$

- On peut multiplier la matrice par une constante arbitraire (à cause des coordonnées homogènes)

$$\begin{pmatrix} x_e \\ y_e \\ z_e \\ 1 \end{pmatrix} \equiv \underbrace{\begin{pmatrix} n & 0 & 0 & 0 \\ 0 & n & 0 & 0 \\ 0 & 0 & n+f & -fn \\ 0 & 0 & 1 & 0 \end{pmatrix}}_{M_p} \cdot \begin{pmatrix} x \\ y \\ z \\ 1 \end{pmatrix}$$



## Matrices de transformation

- La matrice perspective que nous venons de définir suppose que l'on regarde dans le sens des  $z$  négatifs
  - On doit donc l'appliquer *après* le changement de point de vue !
  - La chaîne complète de transformations est donc :

$$M = M_s \cdot M_c \cdot M_p \cdot M_v$$



## Matrices de transformation

- En particulier, la matrice

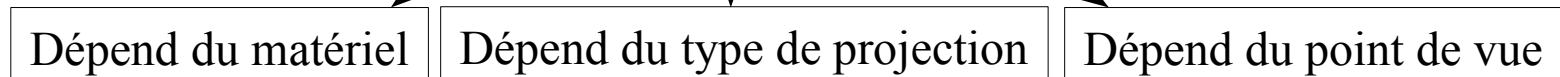
$$M_{proj\_persp} = M_c \cdot M_p = \begin{pmatrix} \frac{2n}{r-l} & 0 & \frac{l+r}{l-r} & 0 \\ 0 & \frac{2n}{t-b} & \frac{b+t}{b-t} & 0 \\ 0 & 0 & \frac{f+n}{n-f} & \frac{2fn}{f-n} \\ 0 & 0 & 1 & 0 \end{pmatrix}$$

est appelée matrice de projection perspective et permet de passer de l'espace réel vers le volume canonique  $[-1, 1]^3$

$$M = M_s \cdot M_{proj\_persp} \cdot M_v$$

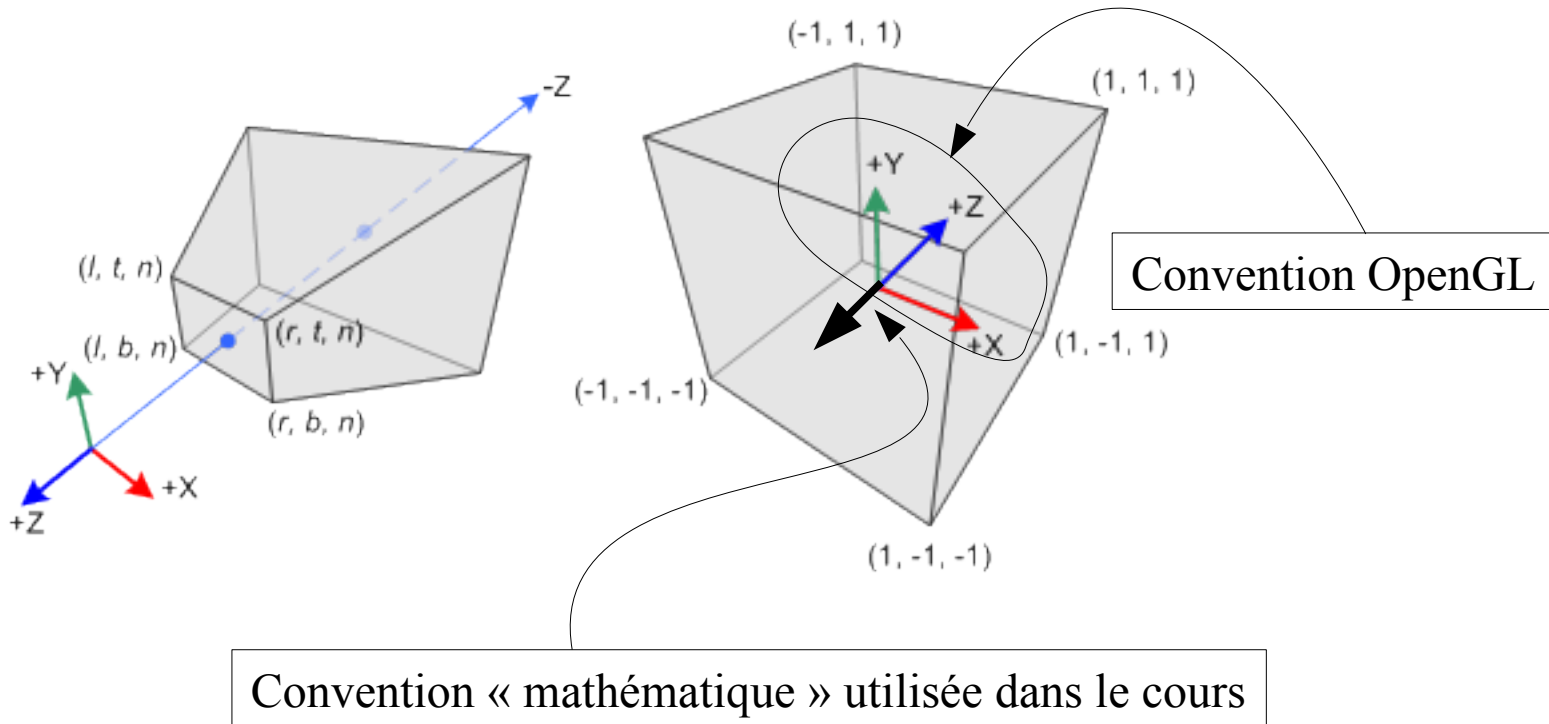
$$z = -|n| \rightarrow z_c = 1$$

$$z = -|f| \rightarrow z_c = -1$$



## Matrices de transformation

- OpenGL...



## Matrices de transformation

- En multipliant par  $-1$  et en substituant

$$f < n < 0 \quad \text{et} \quad -n = |n| \quad -f = |f| \quad nf = |n||f| \quad n - f = |f| - |n|$$

on obtient :

$$\begin{pmatrix} \frac{2n}{r-l} & 0 & \frac{l+r}{l-r} & 0 \\ 0 & \frac{2n}{t-b} & \frac{b+t}{b-t} & 0 \\ 0 & 0 & \frac{f+n}{n-f} & \frac{2fn}{f-n} \\ 0 & 0 & 1 & 0 \end{pmatrix} \equiv \begin{pmatrix} \frac{-2n}{r-l} & 0 & \frac{r+l}{r-l} & 0 \\ 0 & \frac{-2n}{t-b} & \frac{t+b}{t-b} & 0 \\ 0 & 0 & \frac{-f-n}{n-f} & \frac{2fn}{n-f} \\ 0 & 0 & -1 & 0 \end{pmatrix} \equiv \begin{pmatrix} \frac{2|n|}{r-l} & 0 & \frac{r+l}{r-l} & 0 \\ 0 & \frac{2|n|}{t-b} & \frac{t+b}{t-b} & 0 \\ 0 & 0 & \frac{|f|+|n|}{|f|-|n|} & \frac{2|f||n|}{|f|-|n|} \\ 0 & 0 & -1 & 0 \end{pmatrix}$$

## Matrices de transformation

- Matrice de projection perspective OpenGL conventionnelle

$$\begin{pmatrix} \frac{2|n|}{r-l} & 0 & \frac{r+l}{r-l} & 0 \\ 0 & \frac{2|n|}{t-b} & \frac{t+b}{t-b} & 0 \\ 0 & 0 & \frac{|f|+|n|}{|f|-|n|} & \frac{2|f||n|}{|f|-|n|} \\ 0 & 0 & -1 & 0 \end{pmatrix} \rightarrow \begin{pmatrix} \frac{2|n|}{r-l} & 0 & \frac{r+l}{r-l} & 0 \\ 0 & \frac{2|n|}{t-b} & \frac{t+b}{t-b} & 0 \\ 0 & 0 & \frac{|f|+|n|}{|n|-|f|} & \frac{2|f||n|}{|n|-|f|} \\ 0 & 0 & -1 & 0 \end{pmatrix}$$

$M_{proj\_persp\_OpenGL}$

$$z = -|f| \rightarrow z_c = 1$$

$$z = -|n| \rightarrow z_c = -1$$

## Matrices de transformation

- Idem sans transformation perspective

$$\underbrace{\begin{pmatrix} \frac{2}{r-l} & 0 & 0 & 0 \\ 0 & \frac{2}{t-b} & 0 & 0 \\ 0 & 0 & \frac{2}{n-f} & 0 \\ 0 & 0 & 0 & 1 \end{pmatrix}}_{M_c} \cdot \begin{pmatrix} 1 & 0 & 0 & -\frac{r+l}{2} \\ 0 & 1 & 0 & -\frac{b+t}{2} \\ 0 & 0 & 1 & -\frac{n+f}{2} \\ 0 & 0 & 0 & 1 \end{pmatrix} = \underbrace{\begin{pmatrix} \frac{2}{r-l} & 0 & 0 & \frac{l+r}{l-r} \\ 0 & \frac{2}{t-b} & 0 & \frac{b+t}{b-t} \\ 0 & 0 & \frac{2}{n-f} & \frac{f+n}{f-n} \\ 0 & 0 & 0 & 1 \end{pmatrix}}_{M_{proj\_orth}}$$

## Matrices de transformation

- Projection orthographique OpenGL

$$\underbrace{\begin{pmatrix} \frac{2}{r-l} & 0 & 0 & \frac{l+r}{l-r} \\ 0 & \frac{2}{t-b} & 0 & \frac{b+t}{b-t} \\ 0 & 0 & \frac{2}{n-f} & \frac{f+n}{f-n} \\ 0 & 0 & 0 & 1 \end{pmatrix}}_{M_{proj\_orth}} \longrightarrow \underbrace{\begin{pmatrix} \frac{2}{r-l} & 0 & 0 & \frac{l+r}{l-r} \\ 0 & \frac{2}{t-b} & 0 & \frac{b+t}{b-t} \\ 0 & 0 & \frac{-2}{|f|-|n|} & \frac{|f|+|n|}{|f|-|n|} \\ 0 & 0 & 0 & 1 \end{pmatrix}}_{M_{proj\_orth\_OpenGL}}$$

- Dans tous les cas :

$$M = M_s \cdot M_{proj} \cdot M_v$$

## Matrices de transformation

- Simplifications habituelles

- En général, on regarde le centre du volume

$$[l, r] \times [b, t] \times [f, n]$$

$$r = -l = \frac{w}{2} \quad t = -b = \frac{h}{2}$$

On veut aussi des pixels carrés  $\frac{w}{h} = \frac{n_x}{n_y}$

$$\begin{pmatrix} \frac{1}{w} & 0 & 0 & 0 \\ 0 & \frac{n_x}{w n_y} & 0 & 0 \\ 0 & 0 & \frac{-2}{|f| - |n|} & \frac{|f| + |n|}{|f| - |n|} \\ 0 & 0 & 0 & 1 \end{pmatrix}$$

$M_{proj\_orth\_OpenGL}$

$$\begin{pmatrix} \frac{|n|}{w} & 0 & 0 & 0 \\ 0 & \frac{|n| n_x}{w n_y} & 0 & 0 \\ 0 & 0 & \frac{|f| + |n|}{|n| - |f|} & \frac{2|f||n|}{|n| - |f|} \\ 0 & 0 & -1 & 0 \end{pmatrix}$$

$M_{proj\_persp\_OpenGL}$

## Matrices de transformation

- On peut aussi spécifier le champ de vision (pour les vues en perspective uniquement)

$$\tan \theta = \frac{w}{|n|} \Rightarrow w = |n| \tan \theta$$

$$\begin{pmatrix} \frac{1}{\tan \theta} & 0 & 0 & 0 \\ 0 & \frac{n_x}{n_y \tan \theta} & 0 & 0 \\ 0 & 0 & \frac{|f|+|n|}{|n|-|f|} & \frac{2|f||n|}{|n|-|f|} \\ 0 & 0 & -1 & 0 \end{pmatrix}$$

$M_{proj\_persp\_OpenGL}$



## Matrices de transformation

### ■ Exercice

- Matrice globale de transformation pour un observateur situé en  $(x=10, y=10, z=10)$  qui regarde dans la direction  $(-1, -1, -1)$ . Un vecteur du plan vertical est le vecteur  $(0, 1, 0)$ . L'écran fait 1000 par 1000 pixels.

$$w = -\frac{g}{\|g\|} \quad u = -\frac{t \times w}{\|t \times w\|}$$

- Angle de vue :  $45^\circ$  ( $\tan 45 = 1$ )

$$v = w \times u$$

- Position des plans n et f : 10 et 20

$$\underbrace{\begin{pmatrix} \frac{n_x}{2} & 0 & 0 & \frac{n_x-1}{2} \\ 0 & \frac{n_y}{2} & 0 & \frac{n_y-1}{2} \\ 0 & 0 & 1 & 0 \\ 0 & 0 & 0 & 1 \end{pmatrix}}_{M_s}$$

$$\underbrace{\begin{pmatrix} \frac{2|n|}{r-l} & 0 & \frac{r+l}{r-l} & 0 \\ 0 & \frac{2|n|}{t-b} & \frac{t+b}{t-b} & 0 \\ 0 & 0 & \frac{|f|+|n|}{|n|-|f|} & \frac{2|f||n|}{|n|-|f|} \\ 0 & 0 & -1 & 0 \end{pmatrix}}_{M_{proj\_persp\_OpenGL}}$$

$$\underbrace{\begin{pmatrix} x_u & y_u & z_u & 0 \\ x_v & y_v & z_v & 0 \\ x_w & y_w & z_w & 0 \\ 0 & 0 & 0 & 1 \end{pmatrix} \cdot \begin{pmatrix} 1 & 0 & 0 & -x_o \\ 0 & 1 & 0 & -y_o \\ 0 & 0 & 1 & -z_o \\ 0 & 0 & 0 & 1 \end{pmatrix}}_{M_v}$$



## Matrices de transformation

- Technique de « sélection »
  - Utilisation de l'inverse des transformations
  - Nécessité de connaître pour chaque pixel, la primitive géométrique dernièrement tracée
    - On verra comment plus tard...



## Deux paradigmes pour la génération d'images



## 2 paradigmes...

- Par projection des objets sur le plan de l'écran
  - Aspects purement géométriques
    - Utilisation de matrices de transformation
    - Besoin d'algorithmes d'élimination de faces cachées
    - Techniques de « clipping » (découpage) et « culling » (abattage)
      - Permet de ne tracer que le strict nécessaire en évitant les « effets de bord »
  - Coloriage / ombrage
    - Éclairage
    - Textures
    - Lois de réflexion
  - Possibilité de graphisme en temps réel
  - Implémentation type OpenGL (hardware)

## 2 paradigmes...

- Organigramme
  - Partir des objets et leurs coordonnées dans l'espace
  - Déterminer en chaque point (sommet) ou sur chaque facette des caractéristiques d'éclairage, de textures, etc...
  - Projeter dans l'espace des coordonnées de l'écran
    - Matrices de transformation
  - Dessiner l'objet sous forme discrétisée
    - « Rasterisation » (!) pb d'aliasing
    - Tenir compte des faces cachées !
    - La couleur de chaque pixel est déterminée par l'information calculée plus haut

## 2 paradigmes...

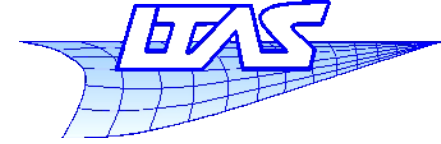
- Par lancer de rayon ( ray-tracing )
  - Aspects géométriques
    - On part des pixels pour aller à la rencontre des objets
      - Recherche de l'intersection d'un rayon et des objets (habituellement triangulés)
    - Problème des faces cachées : automatiquement réglé !
    - Culling utile (pour éviter les recherches inutiles)
  - Coloriage
    - Lois réalistes de réflexion
    - Lois réalistes d'éclairage
    - Textures complexes
  - Relative lenteur mais haute fidélité
  - Introduction de nouveaux modèles aisée

## 2 paradigmes...

- Organigramme
  - Partir des pixels de l'écran
  - Tracer une ligne passant par l'œil et ce pixel et calculer l'intersection avec le premier objet rencontré
    - Cas particulier si la surface est un diélectrique ou un métal (métal lisse ou verre, liquide etc... ) : le rayon est réfléchi, simplement dévié ou se multiplie par réflexion partielle
  - Déterminer la couleur de l'objet en ce point
    - Utilisation de lois physiques ou empiriques
    - Tenir compte de l'éclairement - et des ombres
  - Donner au pixel la couleur déterminée
    - (!) de nouveau, problèmes d'aliasing possibles !



# Infographie



## 2 paradigmes...

- Sujets communs aux deux techniques
  - Lois de réflexion, types de surfaces
  - Textures
  - Modélisation surfacique
  - Maillages
  - Théorie de la couleur



## 2 paradigmes...

- Sujets spécifiques à l'approche par lancer de rayon
  - Equation de radiosit 
  - Calcul d'ombres
  - R fraction, r flexions



## 2 paradigmes...

- Sujets spécifiques à l'approche par projection
  - Problèmes de visibilité (clipping et faces cachées)
  - « Rasterisation »



## 2 paradigmes...

- Il existe des approches hybrides
  - Permet de cumuler les avantages des deux paradigmes
    - Vitesse (approche par projection)
    - Fidélité (approche par lancer de rayon)
  - E.g. Pixar Renderman.



## Projet

- Proposition de sujets
  - A) Homemade Ray Tracer (informatique)
    - Faire évoluer un programme de ray-tracing (que je vous fournis)
    - Programmation & implémentation (cf suite)
  - B) Rendu réaliste (architectes)
    - Utiliser Blender afin d'effectuer un rendu *réaliste* d'une scène architecturale (extérieur cette année) – en partant du projet que vous ferez dans le cadre du cours de P. Leclerc
    - Utilisation approfondie du logiciel au complet
  - C) Sujet au choix
    - Si vous voulez travailler sur un sujet qui vous intéresse et qui rentre dans le cadre du cours (je dois le valider *à priori* )

- Déroulement du projet
  - Groupes de deux maximum
  - Délivrables
    - (A) Homemade Ray Tracer
      - a) « cahier des charges » : définition de ce que vous allez faire (+ répartition) , ...
      - b) Rapport final détaillant la philosophie de votre contribution (le pourquoi du comment) + code + résultats et analyse critique + éventuellement détail des contributions personnelles si vous êtes deux
      - c) Petite présentation pour illustrer le fonctionnement de votre code
    - (B) Rendu réaliste
      - a) « cahier des charges » : description du bâtiment, niveau de détail prévu, quel genre de scène, ...
      - b) Rapport final détaillant sous forme de tutoriel comment vous êtes arrivés au résultat + fichiers + résultat et analyse critique
      - c) Présentation (même temps que le cours de MAO)

- (C) Sujet au choix
  - a) Définition du sujet (originalité, intérêt, contexte ...)
  - b) Planification de la réalisation (« cahier des charges »)
    - Si possible, rendre cela en même temps que a)
  - b) rapport final (contenu à définir lors de la validation du sujet) + éventuellement détail des contributions personnelles si vous êtes deux
- Limites physiques des documents
  - Sujet (c) : 1 page A4
  - Cahier des charges : 1-2 pages A4
  - Rapport final : max 15 pages A4

- Deadlines
  - Choix des sujets / formation des groupes : 7 Mars
    - Dans le cas C) remise du sujet : 7 Mars
  - Remise des cahiers des charges : 21 Mars
  - Remise des rapports : avant le 1er Juin
    - Architectes : lors de la soutenance (ou immédiatement après)
  - Poids relatif de l'exercice : environ 40%



- **Homemade Ray-tracer**
  - Canevas disponible sur le site du cours  
<http://www.cgeo.ulg.ac.be/infographie>
  - Développé en C++ sous linux de façon portable
  - Utilisation de Opengl et FLTK
    - Je ne demande pas de développer une interface graphique significative pour ce que vous faites (prend trop de temps) – simplement d'implémenter les modèles de réflexion , ombres, géométrie etc... et de tester directement dans le code (dans la fonction main() par exemple)
    - Le canevas est peu commenté...
    - Vous avez le droit de modifier l'existant...

- 8 sujets

- 1 – Effets volumiques

- Fumée, solides translucides, (subsurface scattering?)

- 2 – Représentation d'objets sans épaisseur

- Lignes / courbes 1d , points 0d
- Cheveux, etc..

- 3 – Modélisation de sources lumineuses complexes

- Sources lumineuses étendues et visibles dans le champ

### 4 – Modélisation procédurale

- Calcul de maillages correspondant à des paysages ou des formes vivantes (arbres, etc...)

### 5 – Modélisation de la profondeur de champ

- Flou artistique lié à l'ouverture de l'objectif

### 6 – Interfaçage avec un modeleur solide

- Fichiers type CATIA, Solidworks, etc.

### 7 – Algorithme de Metropolis

- Rendu physique non biaisé

### 8 – Animations

- Calcul de scènes successives et interpolation du mouvement

### 9\* – Rassembler tout !

- Garder en tête que vous travaillez ensemble...
- Une partie de la note du projet dépend de l'intégration de tous les développements.
- Cas du sujet 7 particulier (partir de zéro?)